

ДИФФЕРЕНЦИАЛЬНЫЕ УРАВНЕНИЯ
И
ПРОЦЕССЫ УПРАВЛЕНИЯ
№ 1, 2012
Электронный журнал,
рег. Эл № ФС77-39410 от 15.04.2010
ISSN 1817-2172

<http://www.math.spbu.ru/diffjournal>
e-mail: jodiff@mail.ru

Общая теория управления

Спектральные характеристики операторов умножения, дифференцирования и интегрирования в базисе обобщенных функций Лагерра

К.А. Рыбаков

Московский авиационный институт (национальный исследовательский университет),
кафедра «Математическая кибернетика»,
rkoffice@mail.ru

В работе получены соотношения для расчета спектральных характеристик операторов умножения, дифференцирования и интегрирования относительно обобщенных функций Лагерра. Приведены различные примеры их применения.

Ключевые слова: базис; полиномы Лагерра; обобщенные функции Лагерра; спектральный метод; спектральная характеристика

Введение

Одной из форм математического описания систем управления является спектральная [5, 6, 9, 15, 17]. В ее основе лежит представление сигналов совокупностью коэффициентов разложения их в ряды по полной ортонормированной системе функций (базисной системе), а ее базовыми понятиями являются спектральные характеристики функций (нестационарные спектральные характеристики) и спектральные характеристики линейных операторов (нестационарные передаточные функции). Использование спектральной формы математического описания позволяет формализовать процесс решения задач анализа, синтеза и идентификации при различных областях изменения времени и координат вектора состояния системы управления.

Для таких задач, как, например, синтез оптимальных стохастических систем управления при неполной информации о векторе состояния [8], в некоторых случаях требуется выбирать базисную систему, функции которой интегрируемы на множестве действительных чисел, но при этом в виде сходящегося в среднеквадратическом (с весом) ряда по таким функциям могут быть представлены многочлены. При отсутствии ограничений на координаты вектора состояния в работе [11] было предложено использовать систему функций, определенных на основе

полиномов Эрмита. При условии неотрицательности координат вектора состояния может быть использована система функций, которая определяется на основе полиномов Лагерра – система обобщенных функций Лагерра. Они заданы таким образом, что являются интегрируемыми на множестве $[0, +\infty)$ и ортогональными с весовой функцией, аналогичной по структуре весовой функции полиномов Лагерра.

Структура статьи аналогична [11], а именно приведены рекуррентные соотношения для обобщенных функций Лагерра, их производных и первообразных, найдены соотношения для расчета спектральных характеристик операторов умножения, дифференцирования и интегрирования (двумерных нестационарных передаточных функций элементарных звеньев систем управления: усилительного, дифференцирующего и интегрирующего).

Изучены частные случаи и приведены примеры применения спектральной формы математического описания с использованием рассмотренной базисной системы в задачах представления функций, их производных, первообразных и в задаче анализа выходных процессов линейных детерминированных систем управления.

Обобщенные функции Лагерра

Рассмотрим полиномы Лагерра [2, 13, 18], которые определяются соотношениями

$$L_j^\alpha(x) = (-1)^j x^{-\alpha} e^x \frac{d^j}{dx^j} (x^{\alpha+j} e^{-x}) \quad (1)$$

или

$$L_j^\alpha(x) = \sum_{k=0}^j (-1)^{j+k} C_j^k (\alpha + j)^{[j-k]} x^k, \quad (2)$$

где $\alpha > -1$ – заданное число, $C_j^k = \frac{j!}{k!(j-k)!}$, $(\alpha + j)^{[j-k]}$ – факториальный многочлен ($t^{[k]} = t(t-1)\dots(t-k+1)$, $t^{[0]} = 1$). Они являются ортогональными с весом $\rho(x) = x^\alpha e^{-x}$ на множестве неотрицательных чисел, т.е.

$$(L_i^\alpha(x), L_j^\alpha(x))_{L_2([0, +\infty); \rho(x))} = \begin{cases} j! \Gamma(\alpha + j + 1), & i = j, \\ 0, & i \neq j, \end{cases}$$

где $(\cdot, \cdot)_{L_2([0, +\infty); \rho(x))}$ – скалярное произведение в пространстве $L_2([0, +\infty); \rho(x))$ [3]:

$$(f(x), h(x))_{L_2([0, +\infty); \rho(x))} = \int_0^{+\infty} \rho(x) f(x) h(x) dx, \quad f(x), h(x) \in L_2([0, +\infty); \rho(x)),$$

а $\Gamma(\alpha)$ – гамма-функция: $\Gamma(\alpha) = \int_0^{+\infty} x^{\alpha-1} e^{-x} dx$.

Функции Лагерра задаются следующим образом: $\Psi_j^\alpha(x) = \rho^{\frac{1}{2}}(x) L_j^\alpha(x)$, $j = 0, 1, 2, \dots$. Они ортогональны на множестве неотрицательных чисел с единичным весом, поскольку

$$(\Psi_i^\alpha(x), \Psi_j^\alpha(x))_{L_2([0, +\infty))} = (L_i^\alpha(x), L_j^\alpha(x))_{L_2([0, +\infty); \rho(x))} = \begin{cases} j! \Gamma(\alpha + j + 1), & i = j, \\ 0, & i \neq j, \end{cases}$$

где $(\cdot, \cdot)_{L_2([0, +\infty))}$ – скалярное произведение в пространстве $L_2([0, +\infty))$:

$$(f(x), h(x))_{L_2([0, +\infty))} = \int_0^{+\infty} f(x) h(x) dx, \quad f(x), h(x) \in L_2([0, +\infty)).$$

Для представления функций рядами удобнее использовать ортонормированные системы [3, 9], поэтому обозначим через $l_j^\alpha(x)$ нормированные полиномы Лагерра, а через $\psi_j^\alpha(x)$ – нормированные функции Лагерра [13]:

$$l_j^\alpha(x) = \frac{L_j^\alpha(x)}{\sqrt{h_j}}, \quad \psi_j^\alpha(x) = \frac{\Psi_j^\alpha(x)}{\sqrt{h_j}}, \quad h_j = j! \Gamma(\alpha + j + 1), \quad j = 0, 1, 2, \dots$$

Далее рассмотрим функции

$$F_j^{\alpha, \beta}(x) = \rho^{\frac{1-\beta}{2}}(x) L_j^\alpha(x), \quad j = 0, 1, 2, \dots, \quad (3)$$

где числовой параметр β может принимать любые значения из отрезка $[0, 1]$.

Очевидно, что при $\beta = 1$ функции $F_j^{\alpha, \beta}(x)$ совпадают с полиномами Лагерра $L_j^\alpha(x)$, а при $\beta = 0$ – с функциями Лагерра $\Psi_j^\alpha(x)$. Функции $F_j^{\alpha, \beta}(x)$ будем называть *обобщенными функциями Лагерра*. Они ортогональны на множестве неотрицательных чисел с весом $\rho^\beta(x)$, при этом

$$\left(F_i^{\alpha, \beta}(x), F_j^{\alpha, \beta}(x) \right)_{L_2([0, +\infty); \rho^\beta(x))} = \left(L_i^\alpha(x), L_j^\alpha(x) \right)_{L_2([0, +\infty); \rho(x))} = \begin{cases} j! \Gamma(\alpha + j + 1), & i = j, \\ 0, & i \neq j. \end{cases} \quad (4)$$

Здесь $(\cdot, \cdot)_{L_2([0, +\infty); \rho^\beta(x))}$ – скалярное произведение в пространстве $L_2([0, +\infty); \rho^\beta(x))$:

$$\left(f(x), h(x) \right)_{L_2([0, +\infty); \rho^\beta(x))} = \int_0^{+\infty} \rho^\beta(x) f(x) h(x) dx, \quad f(x), h(x) \in L_2([0, +\infty); \rho^\beta(x)).$$

Функции $f_j^{\alpha, \beta}(x) = \frac{F_j^{\alpha, \beta}(x)}{\sqrt{h_j}}$, $j = 0, 1, 2, \dots$, будем называть *нормированными обобщенными функциями Лагерра* (при $\beta = 1$ они совпадают с нормированными полиномами Лагерра $l_j^\alpha(x)$, а при $\beta = 0$ – с нормированными функциями Лагерра $\psi_j^\alpha(x)$).

Доказательство полноты системы функций $\{f_j^{\alpha, \beta}(x)\}_{j=0}^\infty$ при $\beta \in (0, 1)$ аналогично доказательству полноты систем функций Лагерра и Эрмита в [3].

Для упрощения обозначений в случае полиномов $L_j^\alpha(x)$ и $l_j^\alpha(x)$, а также функций $\Psi_j^\alpha(x)$, $F_j^{\alpha, \beta}(x)$, $\psi_j^\alpha(x)$ и $f_j^{\alpha, \beta}(x)$ не будем указывать параметры α и β .

Известно [2, 18], что для полиномов Лагерра $L_j(x)$ справедлива рекуррентная формула

$$L_{j+1}(x) = (x - \alpha - 2j - 1)L_j(x) - j(\alpha + j)L_{j-1}(x), \quad L_0(x) = 1, \quad j = 0, 1, 2, \dots,$$

но обобщенные функции Лагерра $F_j(x)$ (и функции Лагерра $\Psi_j(x)$, которые являются их частным случаем) от полиномов $L_j(x)$ отличаются множителем, не зависящим от номера функции, следовательно, аналогичная рекуррентная формула справедлива и для функций $F_j(x)$:

$$F_{j+1}(x) = (x - \alpha - 2j - 1)F_j(x) - j(\alpha + j)F_{j-1}(x), \quad F_0(x) = \rho^{\frac{1-\beta}{2}}(x), \quad j = 0, 1, 2, \dots \quad (5)$$

Для приведенных рекуррентных формул следует дополнительно определить функции $L_{-1}(x) = 0$ и $F_{-1}(x) = 0$. Эти соотношения удобны для получения явных формул, если j невелико. Так, например, первые четыре обобщенные функции Лагерра имеют вид

$$F_0(x) = (x^\alpha e^{-x})^{\frac{1-\beta}{2}},$$

$$F_1(x) = (x^\alpha e^{-x})^{\frac{1-\beta}{2}} (x - \alpha - 1),$$

$$F_2(x) = (x^\alpha e^{-x})^{\frac{1-\beta}{2}} (x^2 - (2\alpha + 4)x + \alpha^2 + 3\alpha + 2),$$

$$F_3(x) = (x^\alpha e^{-x})^{\frac{1-\beta}{2}} (x^3 - (3\alpha + 9)x^2 + (3\alpha^2 + 15\alpha + 18)x - \alpha^3 - 6\alpha^2 - 11\alpha - 6).$$

Графики нормированных обобщенных функций Лагерра при $\alpha = 0$ и различных значениях β изображены на рис. 1–4.

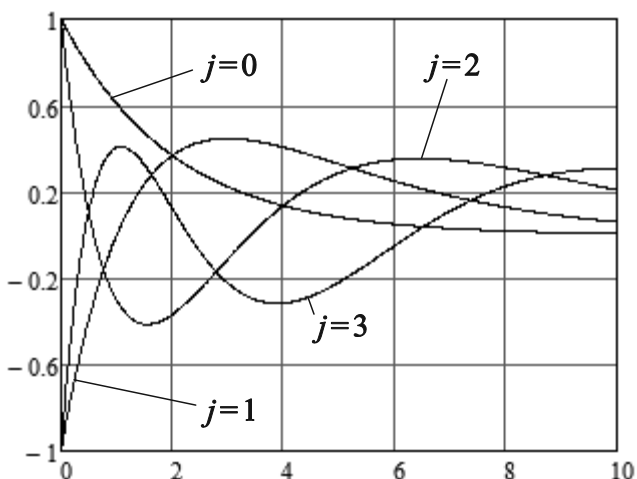


Рис. 1. Графики обобщенных функций Лагерра при $\beta = 0$ (функций Лагерра)

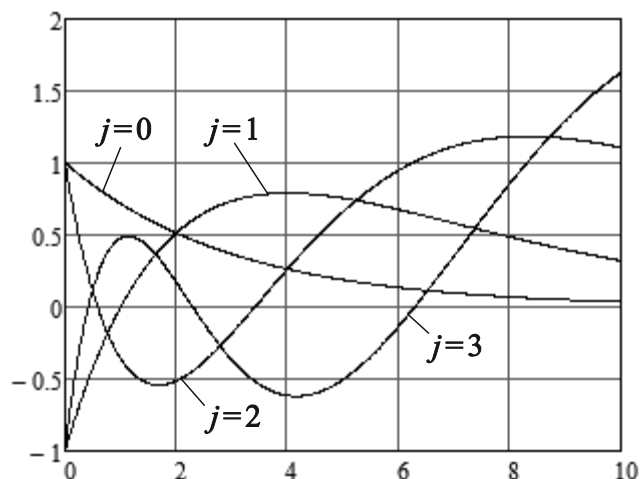


Рис. 2. Графики обобщенных функций Лагерра при $\beta = \frac{1}{3}$

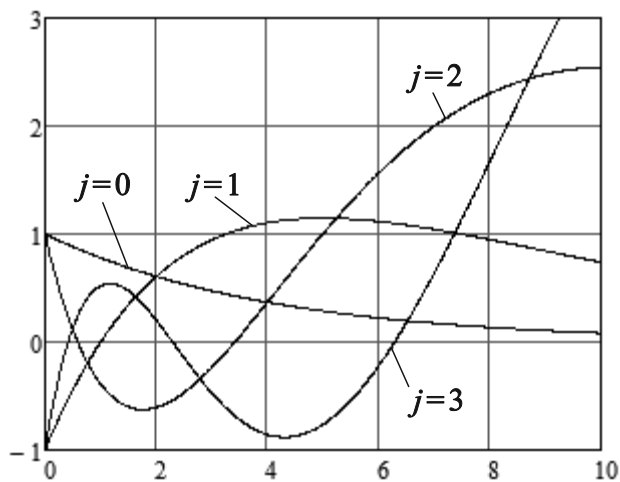


Рис. 3. Графики обобщенных функций Лагерра при $\beta = \frac{1}{2}$

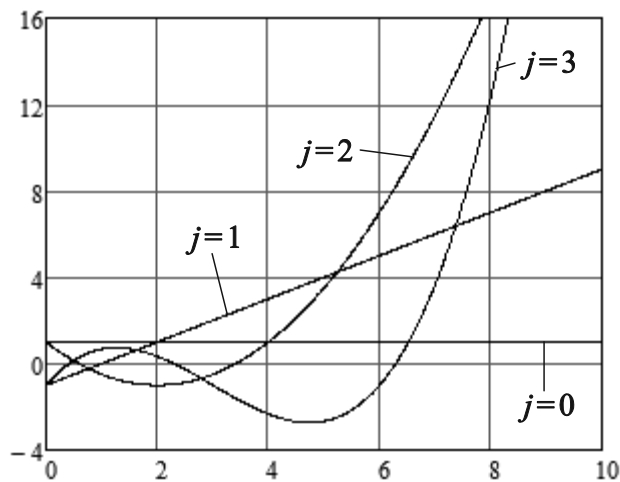


Рис. 4. Графики обобщенных функций Лагерра при $\beta = 1$ (полиномов Лагерра)

Прежде, чем вывести соотношения для расчета спектральных характеристик операторов дифференцирования и интегрирования, необходимо получить соотношения, связывающие обобщенные функции Лагерра и их производные, а также первообразные.

Из определения обобщенных функций Лагерра следует, что

$$F_j(x) = (x^\alpha e^{-x})^{\frac{1-\beta}{2}} L_j(x) = x^{\frac{\alpha(1-\beta)}{2}} e^{-\frac{1-\beta}{2}x} L_j(x) = x^\mu e^{-\delta x} L_j(x),$$

где $\mu = \alpha \frac{1-\beta}{2} = \alpha\delta$, $\delta = \frac{1-\beta}{2}$, поэтому

$$F_j(x) = x^\mu e^{-\delta x} (-1)^j x^{-\alpha} e^x \frac{d^j}{dx^j} (x^{\alpha+j} e^{-x}) = (-1)^j x^{\mu-\alpha} e^{(1-\delta)x} \frac{d^j}{dx^j} (x^{\alpha+j} e^{-x}) = (-1)^j x^{-\eta} e^{\lambda x} \frac{d^j}{dx^j} (x^{\alpha+j} e^{-x}),$$

где $\eta = \alpha - \mu = \alpha \frac{1+\beta}{2} = \alpha \lambda$, $\lambda = 1 - \delta = \frac{1+\beta}{2}$ (новые параметры μ , δ , η , λ введены для удобства записи формул), или, учитывая (2),

$$F_j(x) = x^\mu e^{-\delta x} \sum_{k=0}^j (-1)^{j+k} C_j^k (\alpha + j)^{[j-k]} x^k. \quad (6)$$

Таким образом,

$$F_{j+1}(x) = (-1)^{j+1} x^{-\eta} e^{\lambda x} \frac{d^{j+1}}{dx^{j+1}} (x^{\alpha+j+1} e^{-x}) = (-1)^{j+1} x^{-\eta} e^{\lambda x} \frac{d^{j+1}}{dx^{j+1}} (x x^{\alpha+j} e^{-x}).$$

Применяя формулу Лейбница [2], получаем

$$\begin{aligned} F_{j+1}(x) &= (-1)^{j+1} x^{-\eta} e^{\lambda x} \left(x \frac{d^{j+1}}{dx^{j+1}} (x^{\alpha+j} e^{-x}) + (j+1) \frac{d^j}{dx^j} (x^{\alpha+j} e^{-x}) \right) = -(j+1) (-1)^j x^{-\eta} e^{\lambda x} \frac{d^j}{dx^j} (x^{\alpha+j} e^{-x}) - \\ &- (-1)^j x^{-\eta} e^{\lambda x} x \frac{d}{dx} \frac{d^j}{dx^j} (x^{\alpha+j} e^{-x}) = -(j+1) F_j(x) - (-1)^j x^{-\eta} e^{\lambda x} x \left((-1)^j x^\eta e^{-\lambda x} F_j(x) \right)' = -(j+1) F_j(x) - \\ &- x^{-\eta} e^{\lambda x} x \left(\eta x^{\eta-1} e^{-\lambda x} F_j(x) - \lambda x^\eta e^{-\lambda x} F_j(x) + x^\eta e^{-\lambda x} F_j'(x) \right) = (\lambda x - \eta - j - 1) F_j(x) - x F_j'(x). \end{aligned}$$

Затем, умножая на λ левую и правую части (5) и вычитая полученный результат из последнего равенства, имеем

$$(1 - \lambda) F_{j+1}(x) = (-\eta - j - 1 + \lambda \alpha + 2\lambda j + \lambda) F_j(x) + \lambda j (\alpha + j) F_{j-1}(x) - x F_j'(x),$$

или

$$\delta F_{j+1}(x) = (\beta j - \delta) F_j(x) + \lambda j (\alpha + j) F_{j-1}(x) - x F_j'(x). \quad (7)$$

Дифференцируя левую и правую части (5), находим

$$F'_{j+1}(x) = F'_j(x) + x F''_j(x) - (\alpha + 2j + 1) F'_j(x) - j(\alpha + j) F'_{j-1}(x),$$

а затем подставляем $x F'_j(x)$ из (7):

$$F'_{j+1}(x) = -\delta F_{j+1}(x) + (\beta j + \lambda) F_j(x) + \lambda j (\alpha + j) F_{j-1}(x) - (\alpha + 2j + 1) F'_j(x) - j(\alpha + j) F'_{j-1}(x). \quad (8)$$

Далее получим рекуррентные соотношения для первообразных обобщенных функций Лагерра. Проинтегрируем левую и правую части (7):

$$\delta \int_0^x F_{j+1}(\xi) d\xi = (\beta j - \delta) \int_0^x F_j(\xi) d\xi + \lambda j (\alpha + j) \int_0^x F_{j-1}(\xi) d\xi - \int_0^x \xi F'_j(\xi) d\xi.$$

Используя правило интегрирования по частям для последнего слагаемого в правой части, получаем

$$\begin{aligned} \int_0^x F_{j+1}(\xi) d\xi &= \frac{1}{\delta} \left((\beta j - \delta + 1) \int_0^x F_j(\xi) d\xi + \lambda j (\alpha + j) \int_0^x F_{j-1}(\xi) d\xi - x F_j(x) \right) = \\ &= \frac{1}{\delta} \left((\beta j + \lambda) \int_0^x F_j(\xi) d\xi + \lambda j (\alpha + j) \int_0^x F_{j-1}(\xi) d\xi - x F_j(x) \right). \end{aligned} \quad (9)$$

В случае $\delta = 0$ (т.е. при $\beta = 1$, $F_j(x) = L_j(x)$ – полиномы Лагерра)

$$\int_0^x F_j(\xi) d\xi = \frac{1}{j+1} \left(x F_j(x) - j(\alpha + j) \int_0^x F_{j-1}(\xi) d\xi \right). \quad (10)$$

При многократном интегрировании удобнее воспользоваться соотношением (8), в частности

$$F_{j+1}(x) - F_{j+1}(0) = -\delta \int_0^x F_{j+1}(\xi) d\xi + (\beta j + \lambda) \int_0^x F_j(\xi) d\xi + \lambda j(\alpha + j) \int_0^x F_{j-1}(\xi) d\xi - (\alpha + 2j + 1)(F_j(x) - F_j(0)) - j(\alpha + j)(F_{j-1}(x) - F_{j-1}(0)).$$

Поскольку $F_{j+1}(0) = -(\alpha + 2j + 1)F_j(0) - j(\alpha + j)F_{j-1}(0)$ (см. (5)),

$$F_{j+1}(x) = -\delta \int_0^x F_{j+1}(\xi) d\xi + (\beta j + \lambda) \int_0^x F_j(\xi) d\xi + \lambda j(\alpha + j) \int_0^x F_{j-1}(\xi) d\xi - (\alpha + 2j + 1)F_j(x) - j(\alpha + j)F_{j-1}(x),$$

или (такой же результат получается при подстановке $x F_j(x)$ из (5) в (9))

$$\int_0^x F_{j+1}(\xi) d\xi = \frac{1}{\delta} \left((\beta j + \lambda) \int_0^x F_j(\xi) d\xi + \lambda j(\alpha + j) \int_0^x F_{j-1}(\xi) d\xi \right) - \frac{1}{\delta} (F_{j+1}(x) + (\alpha + 2j + 1)F_j(x) + j(\alpha + j)F_{j-1}(x)). \quad (11)$$

Если $\delta = 0$ ($\beta = 1$, полиномы Лагерра), то

$$\int_0^x F_j(\xi) d\xi = \frac{1}{j+1} \left(F_{j+1}(x) + (\alpha + 2j + 1)F_j(x) + j(\alpha + j)F_{j-1}(x) - j(\alpha + j) \int_0^x F_{j-1}(\xi) d\xi \right). \quad (12)$$

Далее рассмотрим задачу представления функции $y(x) \in L_2([0, +\infty); \rho^\beta(x))$ в виде ряда по нормированным обобщенным функциям Лагерра [3, 9]:

$$y(x) = \sum_{j=0}^{\infty} y_j f_j(x), \quad x \in [0, +\infty), \quad (13)$$

где числа

$$y_j = (f_j(x), y(x))_{L_2([0, +\infty); \rho^\beta(x))} = \int_0^{+\infty} \rho^\beta(x) f_j(x) y(x) dx, \quad j = 0, 1, 2, \dots, \quad (14)$$

называются *коэффициентами разложения* функции $y(x)$ относительно системы функций $\{f_j(x)\}_{j=0}^{\infty}$.

Упорядоченная совокупность коэффициентов разложения y_j образует спектральную характеристику [6, 9, 15–17] функции $y(x)$: $[y_0 \ y_1 \ y_2 \ \dots]^T$ (T означает транспонирование).

Пример 1. Рассмотрим задачу приближенного представления плотности вероятности для

распределения Рэля $y(x) = \begin{cases} \frac{x}{\zeta^2} e^{-\frac{x^2}{2\zeta^2}}, & x \geq 0, \\ 0, & x < 0, \end{cases}$ с параметром $\zeta = 1$ в виде частичной суммы ряда

по нормированным обобщенным функциям Лагерра.

Найдем численно коэффициенты разложения, используя формулу (14), ограничившись конечным числом первых N членов ряда (13). В этом случае функция

$$y_N(x) = \sum_{j=0}^{N-1} y_j f_j(x) \quad (15)$$

является наилучшим приближением $y(x)$ в пространстве $L_2([0, +\infty); \rho^\beta(x))$ [18]:

$$y(x) \approx y_N(x), \quad \|y(x) - y_N(x)\|_{L_2([0, +\infty); \rho^\beta(x))} \rightarrow 0 \quad \text{при } N \rightarrow \infty.$$

Коэффициенты разложения зависят от числовых параметров α и β . Сравним погрешности аппроксимации функции $y(x)$ функцией $y_N(x)$ при различных N и β , положив $\alpha = 0$. Погрешность аппроксимации будем вычислять, используя три критерия:

$$J_1(y, y_N) = \|y(x) - y_N(x)\|_{L_2([0, +\infty); \rho^\beta(x))} = \left\{ \int_0^{+\infty} \rho^\beta(x) (y(x) - y_N(x))^2 dx \right\}^{\frac{1}{2}},$$

$$J_2(y, y_N) = \|y(x) - y_N(x)\|_{L_2([0, +\infty))} = \left\{ \int_0^{+\infty} (y(x) - y_N(x))^2 dx \right\}^{\frac{1}{2}}, \quad (16)$$

$$J_3(y, y_N) = \|y(x) - y_N(x)\|_{C([0, +\infty))} = \sup_{0 \leq x < +\infty} |y(x) - y_N(x)|.$$

Результаты расчетов приведены на рис. 5–8 и в таблице 1.

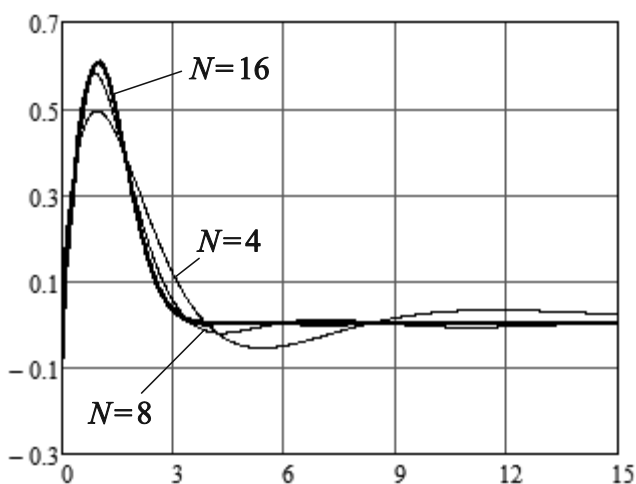


Рис. 5. Графики функций $y(x)$ и $y_N(x)$ при $\beta = 0$ и различных значениях N

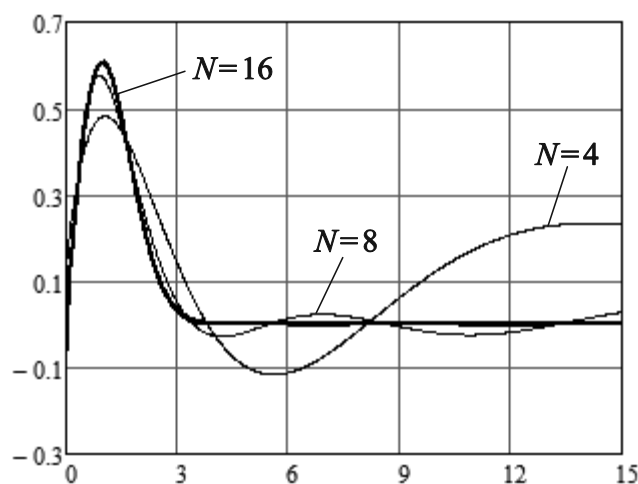


Рис. 6. Графики функций $y(x)$ и $y_N(x)$ при $\beta = \frac{1}{3}$ и различных значениях N

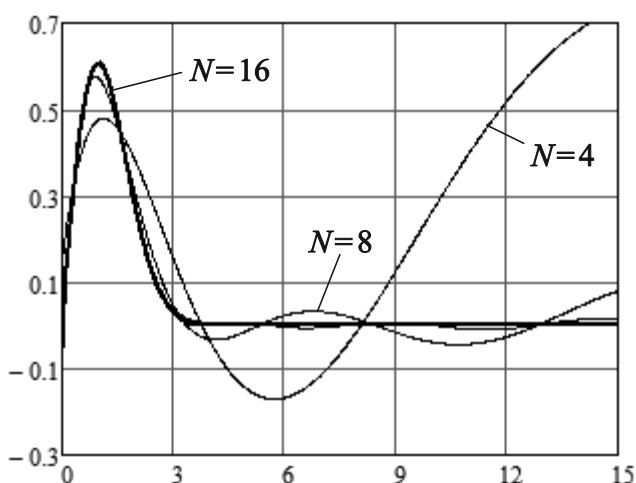


Рис. 7. Графики функций $y(x)$ и $y_N(x)$ при $\beta = \frac{1}{2}$ и различных значениях N

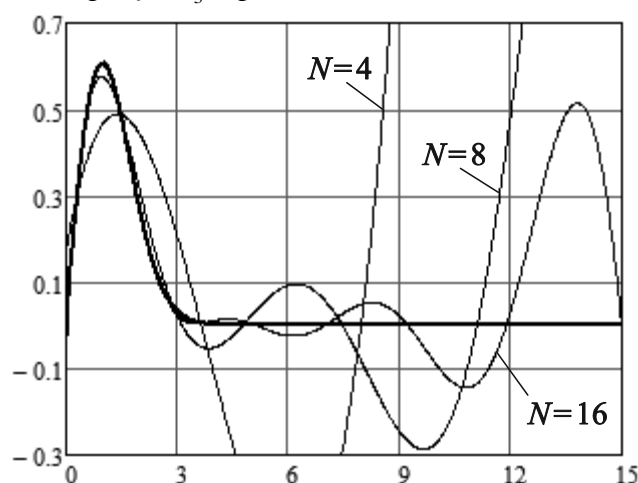


Рис. 8. Графики функций $y(x)$ и $y_N(x)$ при $\beta = 1$ и различных значениях N

На представленных рисунках толстой линией показан график функции $y(x)$, а тонкой — графики функций $y_N(x)$ при различных N , в следующих примерах принята такая же система

обозначений: толстая линия для аппроксимируемой функции, тонкие – для ее приближений. В таблице 1 и в последующих таблицах, если это не оговорено особо, данные (погрешности, вычисленные по различным критериям) представлены в форме $J_1 / J_2 / J_3$.

Критерии J_2 и J_3 характеризуют среднеквадратическое и равномерное приближение функции $y(x)$ функциями $y_N(x)$ без учета веса; погрешность, рассчитанная по этим критериям, приведена для сравнения. Если при решении задачи аппроксимации функции ориентироваться на подобные критерии, то имеет смысл (особенно с ростом β) рассчитывать погрешности по формулам, аналогичным для J_2 и J_3 в (16), но только для конечных подмножеств $[0, +\infty)$.

Таблица 1

Погрешности аппроксимации функции $y(x)$ при различных β и N

	$\beta = 0$	$\beta = \frac{1}{3}$	$\beta = \frac{1}{2}$	$\beta = 1$
$N = 4$	0.183243/	0.164519/	0.156149/	0.133897/
	0.183243/	0.732944/	2.663500/	–/
	0.114075	0.233488	0.765335	–
$N = 8$	0.070569/	0.051684/	0.044064/	0.028029/
	0.070569/	0.556821/	2.738899/	–/
	0.129654	0.157466	0.793647	–
$N = 16$	0.012135/	0.008276/	0.007124/	0.004335/
	0.012135/	3.364286/	8110.535929/	–/
	0.027530	0.943857	1593.571427	–

Пример 2. Рассмотрим задачу представления функции $z(x) = x^n$ (n – заданное целое неотрицательное число) в виде ряда по нормированным обобщенным функциям Лагерра.

Найдем коэффициенты разложения (в отличие от предыдущего примера получим для них аналитические выражения). Согласно (14)

$$z_j^n = \int_0^{+\infty} \rho^\beta(x) f_j(x) z(x) dx = \frac{1}{\sqrt{h_j}} \int_0^{+\infty} \rho^\beta(x) F_j(x) x^n dx =$$

$$= \frac{1}{\sqrt{j! \Gamma(\alpha + j + 1)}} \int_0^{+\infty} x^{\alpha\beta} e^{-\beta x} x^\mu e^{-\delta x} \left(\sum_{k=0}^j (-1)^{j+k} C_j^k (\alpha + j)^{[j-k]} x^k \right) x^n dx =$$

$$= \frac{1}{\sqrt{j! \Gamma(\alpha + j + 1)}} \sum_{k=0}^j (-1)^{j+k} C_j^k (\alpha + j)^{[j-k]} \int_0^{+\infty} x^{\alpha\beta + \mu + n + k} e^{-\lambda x} dx.$$

Учитывая равенства $\alpha\beta + \mu = \alpha\lambda = \eta$, а также

$$\int_0^{+\infty} x^{\xi-1} e^{-\omega x} dx = \frac{1}{\omega^\xi} \int_0^{+\infty} u^{\xi-1} e^{-u} du = \frac{\Gamma(\xi)}{\omega^\xi} \quad (\omega, \xi > 0), \tag{17}$$

получаем

$$z_j^n = \frac{1}{\sqrt{j! \Gamma(\alpha + j + 1)}} \sum_{k=0}^j (-1)^{j+k} C_j^k (\alpha + j)^{[j-k]} \frac{\Gamma(\eta + n + k + 1)}{\lambda^{\eta + n + k + 1}}. \tag{18}$$

При $\alpha = \eta = 0$ эта формула упрощается, а именно

$$z_j^n = \frac{1}{j!} \sum_{k=0}^j (-1)^{j+k} C_j^k j^{[j-k]} \frac{(n+k)!}{\lambda^{n+k+1}} = \sum_{k=0}^j (-1)^{j+k} C_j^k \frac{(n+k)!}{k! \lambda^{n+k+1}} = \sum_{k=0}^j (-1)^{j+k} C_j^k \frac{(n+k)^{[n]}}{\lambda^{n+k+1}}.$$

Если, как и в примере 1, ограничиться первыми N членами ряда (13), то функция $z_N(x) = \sum_{j=0}^{N-1} z_j^n f_j(x)$ будет приближенно представлять $z(x)$ в пространстве $L_2([0, +\infty); \rho^\beta(x))$, однако отметим, что при $\beta = 0$ $z_N(x)$ не будет сходиться в среднеквадратическом к $z(x)$, так как $z(x) \notin L_2([0, +\infty))$.

Воспользуемся другим способом для расчета z_j^n :

$$z_j^n = \frac{\tilde{z}_j^n}{\sqrt{h_j}}, \quad \tilde{z}_j^n = \int_0^{+\infty} \rho^\beta(x) F_j(x) z(x) dx = \int_0^{+\infty} \rho^\beta(x) F_j(x) x^n dx. \quad (19)$$

Так как $F_j(x)x^{n+1} = (F_{j+1}(x) + (\alpha + 2j + 1)F_j(x) + j(\alpha + j)F_{j-1}(x))x^n$ (см. (5)),

$$\tilde{z}_j^{n+1} = \tilde{z}_{j+1}^n + (\alpha + 2j + 1)\tilde{z}_j^n + j(\alpha + j)\tilde{z}_{j-1}^n, \quad (20)$$

а начальные условия ($n = 0$) можно получить из (18):

$$\tilde{z}_j^0 = \sum_{k=0}^j (-1)^{j+k} C_j^k (\alpha + j)^{[j-k]} \frac{\Gamma(\eta + k + 1)}{\lambda^{\eta+k+1}}. \quad (21)$$

При $\alpha = \eta = 0$ последнее выражение преобразуется к виду $\tilde{z}_j^0 = j! \sum_{k=0}^j \frac{(-1)^{j+k} C_j^k}{\lambda^{k+1}}$, а при дополни-

тельном условии $\lambda = 1$ ($\beta = 1$, полиномы Лагерра) $\tilde{z}_j^0 = (-1)^j j! \sum_{k=0}^j (-1)^k C_j^k = \begin{cases} 1, & j = 0, \\ 0, & j > 0; \end{cases}$ при $\lambda = \frac{1}{2}$

($\beta = 0$, функции Лагерра) $\tilde{z}_j^0 = 2j! \sum_{k=0}^j (-1)^{j-k} 2^k C_j^k = 2j!$; в остальных случаях $\tilde{z}_j^0 = \frac{j!}{\lambda} \left(\frac{1}{\lambda} - 1 \right)^j$.

Элементы z_j^n образуют спектральные характеристики $Z = [z_0^n \quad z_1^n \quad z_2^n \quad \dots]^T$ функций $z(x) = x^n$, в то же время они являются элементами спектральных характеристик линейных функционалов J^n , ставящих в соответствие функции $y(x)$ интеграл от произведения этой функции на x^n по множеству неотрицательных чисел:

$$J^n y(x) = \int_0^{+\infty} x^n y(x) dx.$$

Согласно свойствам спектральных характеристик линейных функционалов [9, 12], определенных относительно базисной системы функций, которые ортогональны с тождественно равной единице весовой функцией (в данном случае параметр β должен быть равен нулю),

справедливо соотношение $J^n y(x) = \sum_{j=0}^{\infty} z_j^n y_j$, где y_j – коэффициенты разложения функции

$y(x)$. Воспользуемся этим соотношением, чтобы проверить условие нормировки для плотности вероятности распределения Рэля (см. пример 1) и чтобы вычислить соответствующее математическое ожидание ($n = 0$ и $n = 1$). Будем использовать усеченные спектральные характеристики, т.е. $J^n y(x) \approx \sum_{j=0}^{N-1} z_j^n y_j$. Результаты расчетов приведены в таблице 2.

Если весовая функция тождественно не равна единице ($\beta > 0$), то выражение для вычисления $J^n y(x)$ более сложное [9]. В подобном случае требуется найти спектральную характери-

стику оператора умножения на функцию $\rho^\beta(x)$ или $\rho^{-\beta}(x)$. Соотношения для расчета таких спектральных характеристик приведены ниже.

Таблица 2

	$n = 0$	$n = 1$
$N = 4$	1.187811	4.336639
$N = 8$	0.970396	0.321910
$N = 16$	1.004176	1.518009
$N = 24$	1.000447	1.297062
$N = 32$	0.999453	1.181923
Точное значение	1.000000	$\sqrt{\pi/2} \approx 1.253314$

Спектральные характеристики линейных операторов

На основе определения и рекуррентных формул для обобщенных функций Лагерра получим соотношения для расчета спектральных характеристик линейных операторов: умножения, дифференцирования и интегрирования. Эти соотношения необходимы для применения спектральной формы математического описания в различных задачах анализа, синтеза, идентификации и др. при использовании нормированных обобщенных функций Лагерра в качестве базисной системы. Аналогичные соотношения можно получить и для расчета спектральных характеристик других линейных операторов.

Спектральные характеристики операторов умножения

Рассмотрим оператор умножения на функцию $a(x)$, т.е. линейный оператор, ставящий в соответствие функции $f(x)$ произведение $a(x)f(x)$. Напомним [9, 17], что *спектральной характеристикой оператора умножения на функцию $a(x)$ (двумерной нестационарной передаточной функцией усилительного звена)* называется бесконечная двумерная матрица A , элементы которой вычисляются следующим образом:

$$A_{ij} = \int_0^{+\infty} \rho^\beta(x) a(x) f_i(x) f_j(x) dx = \frac{\tilde{A}_{ij}}{\sqrt{h_i h_j}}, \quad i, j = 0, 1, 2, \dots,$$

где

$$\tilde{A}_{ij} = \int_0^{+\infty} \rho^\beta(x) a(x) F_i(x) F_j(x) dx. \quad (22)$$

Для получения рекуррентных формул, требующихся при вычислении элементов \tilde{A}_{ij+1} , преобразуем произведение $F_i(x)F_{j+1}(x)$, используя соотношение (5):

$$\begin{aligned} F_i(x)F_{j+1}(x) &= F_i(x)\left((x-\alpha-2j-1)F_j(x) - j(\alpha+j)F_{j-1}(x)\right) = xF_i(x)F_j(x) - (\alpha+2j+1)F_i(x)F_j(x) - \\ &- j(\alpha+j)F_i(x)F_{j-1}(x) = (F_{i+1}(x) + (\alpha+2i+1)F_i(x) + i(\alpha+i)F_{i-1}(x))F_j(x) - (\alpha+2j+1)F_i(x)F_j(x) - \\ &- j(\alpha+j)F_i(x)F_{j-1}(x) = F_{i+1}(x)F_j(x) + 2(i-j)F_i(x)F_j(x) + i(\alpha+i)F_{i-1}(x)F_j(x) - j(\alpha+j)F_i(x)F_{j-1}(x), \end{aligned}$$

следовательно,

$$\tilde{A}_{ij+1} = \tilde{A}_{i+1j} + 2(i-j)\tilde{A}_{ij} + i(\alpha+i)\tilde{A}_{i-1j} - j(\alpha+j)\tilde{A}_{ij-1}. \quad (23)$$

Это выражение не зависит от величины β и поэтому совпадает с рекуррентной формулой для элементов спектральных характеристик оператора умножения в случае полиномов Лагерра ($\beta = 1$) и функций Лагерра ($\beta = 0$), полученной в [13].

Наряду с найденным соотношением можно использовать свойство симметричности спектральной характеристики оператора умножения: $A_{ij} = A_{ji}$ ($\tilde{A}_{ij} = \tilde{A}_{ji}$).

Элементы \tilde{A}_{i0} и \tilde{A}_{0j} – начальные условия для (23) – вычисляются по определению:

$$\tilde{A}_{i0} = \int_0^{+\infty} \rho^\beta(x) a(x) F_i(x) F_0(x) dx, \quad \tilde{A}_{0j} = \int_0^{+\infty} \rho^\beta(x) a(x) F_0(x) F_j(x) dx = \tilde{A}_{j0}.$$

Например, если $a(x) = F_0(x)$, то $\tilde{A}_{0j} = \int_0^{+\infty} \rho^\beta(x) F_0^2(x) F_j(x) dx$. Подставим в эту формулу выражения для $F_0(x)$ и $F_j(x)$, используя (6):

$$\begin{aligned} \tilde{A}_{0j} &= \int_0^{+\infty} x^{\alpha\beta} e^{-\beta x} x^{2\mu} e^{-2\delta x} x^\mu e^{-\delta x} \left(\sum_{k=0}^j (-1)^{j+k} C_j^k (\alpha + j)^{[j-k]} x^k \right) dx = \\ &= \sum_{k=0}^j (-1)^{j+k} C_j^k (\alpha + j)^{[j-k]} \int_0^{+\infty} x^{\alpha\beta+2\mu+\mu+k} e^{(-\beta-2\delta-\delta)x} dx = \sum_{k=0}^j (-1)^{j+k} C_j^k (\alpha + j)^{[j-k]} \int_0^{+\infty} x^{\alpha+\mu+k} e^{-(1+\delta)x} dx. \end{aligned}$$

Принимая во внимание (17), получаем выражение

$$\tilde{A}_{0j} = \tilde{A}_{j0} = \sum_{k=0}^j (-1)^{j+k} C_j^k (\alpha + j)^{[j-k]} \frac{\Gamma(\alpha + \mu + k + 1)}{(1 + \delta)^{\alpha + \mu + k + 1}}. \quad (24)$$

Например, при $\alpha = \mu = 0$ имеем

$$\tilde{A}_{0j} = \tilde{A}_{j0} = j! \sum_{k=0}^j \frac{(-1)^{j+k} C_j^k}{(1 + \delta)^{k+1}} = \frac{j!}{1 + \delta} \left(-\frac{\delta}{1 + \delta} \right)^j,$$

а при условии $\delta = \mu = 0$ ($\beta = 1$, полиномы Лагерра)

$$\tilde{A}_{0j} = \tilde{A}_{j0} = \sum_{k=0}^j (-1)^{j+k} C_j^k (\alpha + j)^{[j-k]} \Gamma(\alpha + k + 1) = (-1)^j (\alpha + j)^{[j]} \Gamma(\alpha + 1) \sum_{k=0}^j (-1)^k C_j^k = \begin{cases} \Gamma(\alpha + 1), & j = 0, \\ 0, & j > 0. \end{cases}$$

Рассмотрим важный для приложений случай, когда $a(x) = x^n$ (n – заданное целое неотрицательное число). Умножая левую и правую части соотношения (5) на $x^n F_i(x)$, имеем

$$x^n F_i(x) F_{j+1}(x) = x^{n+1} F_i(x) F_j(x) - (\alpha + 2j + 1) x^n F_i(x) F_j(x) - j(\alpha + j) x^n F_i(x) F_{j-1}(x),$$

или

$$x^{n+1} F_i(x) F_j(x) = x^n F_i(x) F_{j+1}(x) + (\alpha + 2j + 1) x^n F_i(x) F_j(x) + j(\alpha + j) x^n F_i(x) F_{j-1}(x),$$

следовательно, элементы A_{ij}^n спектральной характеристики оператора умножения на функцию

x^n связаны соотношением $A_{ij}^n = \frac{\hat{A}_{ij}^n}{\sqrt{h_i h_j}}$, в котором

$$\hat{A}_{ij}^{n+1} = \hat{A}_{ij+1}^n + (\alpha + 2j + 1) \hat{A}_{ij}^n + j(\alpha + j) \hat{A}_{ij-1}^n. \quad (25)$$

Для $n = 0$ $\hat{A}_{ij}^n = \Delta_{ij}$, где

$$\Delta_{ij} = \begin{cases} h_j, & i = j, \\ 0, & i \neq j, \end{cases} \quad \text{или} \quad \Delta_{ij} = \begin{cases} j! \Gamma(\alpha + j + 1), & i = j, \\ 0, & i \neq j, \end{cases} \quad (26)$$

что является следствием ортогональности обобщенных функций Лагерра (см. (4)). При $\alpha = 0$

$$\Delta_{ij} = \begin{cases} (j!)^2 & i = j, \\ 0, & i \neq j. \end{cases}$$

Так как матрица с элементами Δ_{ij} (ненормированная спектральная характеристика оператора умножения на функцию $x^0 = 1$) представляет собой диагональную матрицу, с учетом (25) получаем, что матрицы с элементами \hat{A}_{ij}^n (ненормированные спектральные характеристики операторов умножения на функции x^n) при $n > 0$ являются ленточными матрицами (при $n = 1$ – трехдиагональной, при $n = 2$ – пятидиагональной и т.д.). Подобная структура является характерной для спектральных характеристик операторов умножения на функции x^n , определенных относительно базисных систем на основе ортогональных полиномов [11, 15, 17].

Таким образом, принимая во внимание свойство $\hat{A}_{ij}^n = \hat{A}_{ji}^n$, находим

$$\hat{A}_{ij}^n = \begin{cases} \Delta_{ij}, & n = 0, \\ 0, & |i - j| > n, \\ \hat{A}_{ij}^{n-1} + (\alpha + 2j + 1)\hat{A}_{ij}^{n-1} + j(\alpha + j)\hat{A}_{ij-1}^{n-1}, & i \leq j, \\ \hat{A}_{ji}^n, & i > j. \end{cases} \quad \left. \begin{matrix} \\ \\ \\ \end{matrix} \right\} \begin{matrix} \\ \\ |i - j| \leq n \end{matrix} \quad \left. \begin{matrix} \\ \\ \end{matrix} \right\} n > 0 \quad (27)$$

Для примера приведем спектральную характеристику оператора умножения на функцию $a(x) = x$ при $\alpha = 0, \beta \in [0, 1]$:

$$A = \begin{pmatrix} 1 & 1 & 0 & 0 & \dots \\ 1 & 3 & 2 & 0 & \dots \\ 0 & 2 & 5 & 3 & \dots \\ 0 & 0 & 3 & 7 & \dots \\ \vdots & \vdots & \vdots & \vdots & \ddots \end{pmatrix}.$$

Соотношения для элементов спектральной характеристики множительного звена (трехмерной нестационарной передаточной функции множительного звена), необходимость в которой возникает при анализе и синтезе нелинейных систем управления, аналогичны полученным в [13]. По определению

$$V_{ijk} = \int_0^{+\infty} \rho^\beta(x) f_i(x) f_j(x) f_k(x) dx, \quad i, j, k = 0, 1, 2, \dots,$$

или

$$V_{ijk} = \frac{\tilde{V}_{ijk}}{\sqrt{h_i h_j h_k}}, \quad \tilde{V}_{ijk} = \int_0^{+\infty} \rho^\beta(x) F_i(x) F_j(x) F_k(x) dx, \quad i, j, k = 0, 1, 2, \dots,$$

т.е. \tilde{V}_{ijk} – это элемент ненормированной спектральной характеристики оператора умножения на функцию $a(x) = F_i(x)$, поэтому с учетом (23) имеем

$$\tilde{V}_{ijk+1} = \tilde{V}_{ij+1k} + 2(j-k)\tilde{V}_{ijk} + j(\alpha + j)\tilde{V}_{ij-1k} - k(\alpha + k)\tilde{V}_{ijk-1}.$$

При $\beta = 1$ $V_{0jk}, V_{i0k}, V_{ij0}$ – это элементы единичной матрицы, умноженной на $\frac{1}{\sqrt{\Gamma(\alpha + 1)}}$

($\tilde{V}_{0jk}, \tilde{V}_{i0k}, \tilde{V}_{ij0}$ – элементы (26) диагональной матрицы Δ), а при $\beta \neq 1$ – они вычисляются как

элементы спектральной характеристики оператора умножения на функцию $a(x) = F_0(x)$, для этого используется рекуррентная формула (23) с начальными условиями (24). Кроме того, при вычислении этой характеристики нужно использовать свойство симметричности:

$$V_{ijk} = V_{ikj} = V_{jik} = V_{jki} = V_{kij} = V_{kji} \quad (\tilde{V}_{ijk} = \tilde{V}_{ikj} = \tilde{V}_{jik} = \tilde{V}_{jki} = \tilde{V}_{kij} = \tilde{V}_{kji}).$$

Пример 3. Рассмотрим задачу приближенного представления функции $w(x) = x y(x)$ в виде частичной суммы ряда по нормированным обобщенным функциям Лагерра, где $y(x)$ – плотность вероятности для распределения Рэлея (см. пример 1).

Коэффициенты разложения функции $y(x)$ относительно системы нормированных обобщенных функций Лагерра были получены в ходе решения примера 1. Эти коэффициенты образуют спектральную характеристику Y функции $y(x)$, которая представляет собой бесконечную (или конечную в случае представления функции конечным отрезком ряда) матрицу-столбец:

$$Y = [y_0 \quad y_1 \quad y_2 \quad \dots]^T. \quad (28)$$

Используя свойства спектральных характеристик операторов умножения [9, 17], можно вычислить спектральную характеристику W функции $w(x)$ как произведение спектральной характеристики A оператора умножения на функцию $a(x) = x$ и спектральной характеристики Y функции $y(x)$:

$$W = A \cdot Y = [w_0 \quad w_1 \quad w_2 \quad \dots]^T,$$

и, таким образом, приближенно получить коэффициенты разложения w_j функции $w(x)$ относительно системы нормированных обобщенных функций Лагерра:

$$w(x) \approx w_N(x) = \sum_{j=0}^{N-1} w_j f_j(x) = \sum_{j=0}^{N-1} \left(\sum_{i=0}^{N-1} A_{ji} y_i \right) f_j(x).$$

Здесь важно подчеркнуть, что спектральные характеристики F , A и W определены относительно одной и той же системы функций $\{f_j(x)\}_{j=0}^{\infty}$ (имеющих фиксированные параметры α и β). Эти спектральные характеристики при приближенном решении задачи имеют одинаковый порядок усечения N , т.е. A – квадратная матрица размеров $N \times N$, Y и W – матрицы-столбцы размеров $N \times 1$. Для получения точного решения спектральные характеристики не усекаются, в этом случае Y , A и W – бесконечные матрицы [4, 6, 9].

Как и в примере 1, положим $\alpha = 0$ и найдем функцию $w_N(x)$ при различных N и β . Погрешности аппроксимации функции $w(x)$ функцией $w_N(x)$ будем вычислять по критериям (16). Результаты расчетов приведены на рис. 9–12 и в таблице 3.

Заметим, что значение функционала $J^n y(x)$ при $n > 0$ и $\beta = 0$ (см. пример 2) можно выразить через элементы w_j спектральной характеристики W :

$$J^n y(x) = \sum_{j=0}^{\infty} z_j^{n-1} w_j \quad \text{или} \quad J^n y(x) \approx \sum_{j=0}^{N-1} z_j^{n-1} w_j.$$

Например, при $n=1$ и различных N имеем: 2.619924 ($N=4$), 0.591879 ($N=8$), 1.440247 ($N=16$), 1.253637 ($N=24$), 1.222645 ($N=32$). Эти результаты точнее, чем приведенные в табл. 2.

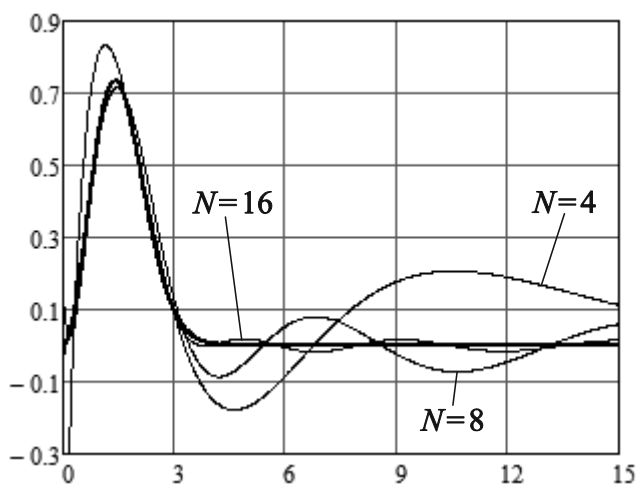


Рис. 9. Графики функций $w(x)$ и $w_N(x)$ при $\beta = 0$ и различных значениях N

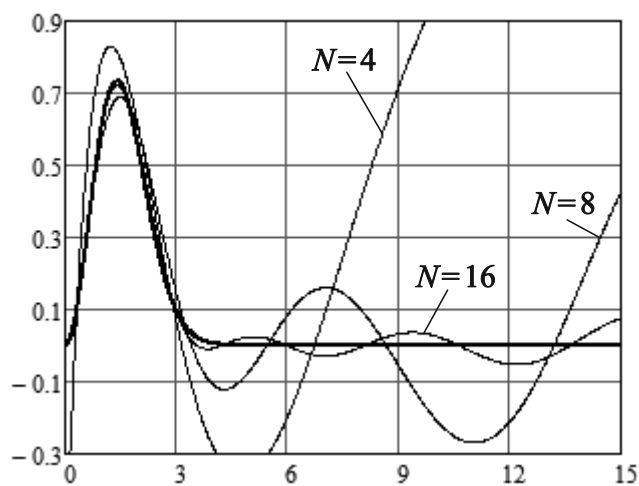


Рис. 10. Графики функций $w(x)$ и $w_N(x)$ при $\beta = \frac{1}{3}$ и различных значениях N

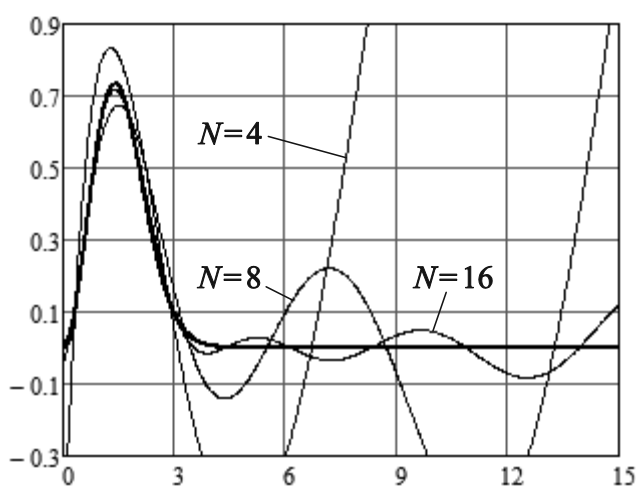


Рис. 11. Графики функций $w(x)$ и $w_N(x)$ при $\beta = \frac{1}{2}$ и различных значениях N

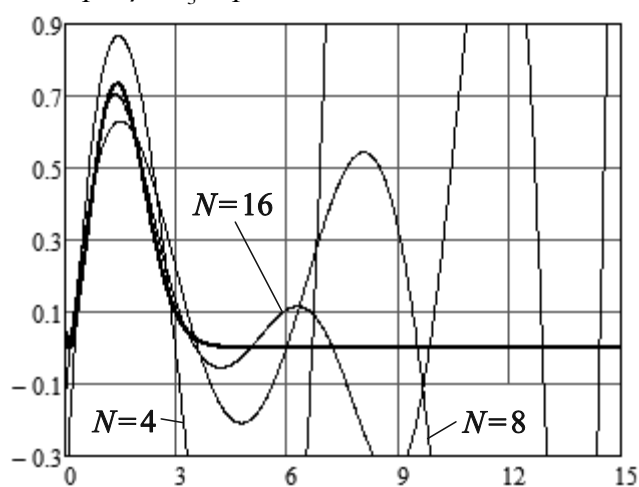


Рис. 12. Графики функций $w(x)$ и $w_N(x)$ при $\beta = 1$ и различных значениях N

Таблица 3

Погрешности аппроксимации функции $w(x)$ при различных β и N

	$\beta = 0$	$\beta = \frac{1}{3}$	$\beta = \frac{1}{2}$	$\beta = 1$
$N = 4$	0.638857/ 0.638857/ 0.858358	0.559199/ 3.853083/ 1.277039	0.522185/ 13.813711/ 3.964826	0.422375/ -/ -
$N = 8$	0.311555/ 0.311555/ 0.134985	0.194463/ 16.227003/ 4.486995	0.149676/ 228.003353/ 53.671640	0.080111/ -/ -
$N = 16$	0.088622/ 0.088622/ 0.038881	0.039897/ 644.829930/ 149.709593	0.023519/ 138761.354077/ 27136.038269	0.036964/ -/ -

Спектральные характеристики операторов дифференцирования

Согласно определению [9, 17] спектральной характеристикой P оператора дифференцирования, ставящего в соответствие функции $f(x)$ ее производную $f'(x)$, называется бесконечная двумерная матрица, элементы которой задаются в виде

$$P_{ij} = \int_0^{+\infty} \rho^\beta(x) f_i(x) f_j'(x) dx = \frac{\tilde{P}_{ij}}{\sqrt{h_i h_j}}, \quad i, j = 0, 1, 2, \dots,$$

где

$$\tilde{P}_{ij} = \int_0^{+\infty} \rho^\beta(x) F_i(x) F_j'(x) dx. \quad (29)$$

Матрица P также называется *двумерной нестационарной передаточной функцией дифференцирующего звена*.

Используя соотношение (8), находим

$$F_i(x) F_{j+1}'(x) = -\delta F_i(x) F_{j+1}(x) + (\beta j + \lambda) F_i(x) F_j(x) + \lambda j(\alpha + j) F_i(x) F_{j-1}(x) - (\alpha + 2j + 1) F_i(x) F_j'(x) - j(\alpha + j) F_i(x) F_{j-1}'(x),$$

следовательно,

$$\tilde{P}_{ij+1}^n = -\delta \Delta_{ij+1} + (\beta j + \lambda) \Delta_{ij} + \lambda j(\alpha + j) \Delta_{ij-1} - (\alpha + 2j + 1) \tilde{P}_{ij}^n - j(\alpha + j) \tilde{P}_{ij-1}^n. \quad (30)$$

Применяя такую же методику, получим соотношения для *спектральной характеристики P^n оператора дифференцирования порядка n* :

$$P_{ij}^n = \frac{\tilde{P}_{ij}^n}{\sqrt{h_i h_j}}, \quad i, j = 0, 1, 2, \dots,$$

где

$$\tilde{P}_{ij}^n = \int_0^{+\infty} \rho^\beta(x) F_i(x) F_j^{(n)}(x) dx. \quad (31)$$

Для этого продифференцируем левую и правую части соотношения (8) $(n-1)$ раз, тогда

$$F_{j+1}^{(n)}(x) = -\delta F_{j+1}^{(n-1)}(x) + (\beta j + \lambda) F_j^{(n-1)}(x) + \lambda j(\alpha + j) F_{j-1}^{(n-1)}(x) - (\alpha + 2j + 1) F_j^{(n)}(x) - j(\alpha + j) F_{j-1}^{(n)}(x).$$

Отсюда

$$\tilde{P}_{ij+1}^n = -\delta \tilde{P}_{ij+1}^{n-1} + (\beta j + \lambda) \tilde{P}_{ij}^{n-1} + \lambda j(\alpha + j) \tilde{P}_{ij-1}^{n-1} - (\alpha + 2j + 1) \tilde{P}_{ij}^n - j(\alpha + j) \tilde{P}_{ij-1}^n. \quad (32)$$

При $\beta = 1$ (в случае полиномов Лагерра) можно применить другую рекуррентную формулу [18]: $L_j'(x) = j(L_{j-1}(x) - L_{j-1}'(x))$, из которой следует, что $\tilde{P}_{ij} = j(\Delta_{ij-1} - \tilde{P}_{ij-1})$. В частности, $\tilde{P}_{i0} = 0$ (так как $L_0'(x) \equiv 0$). Таким образом,

$$\tilde{P}_{ij} = \begin{cases} (-1)^{i+j+1} j! \Gamma(\alpha + i + 1), & i < j, \\ 0, & i \geq j. \end{cases}$$

Для ненормированной спектральной характеристики \tilde{P}^n оператора дифференцирования порядка n имеем $\tilde{P}_{ij}^n = j(\tilde{P}_{ij-1}^{n-1} - \tilde{P}_{ij-1}^n)$, так как $L_j^{(n)}(x) = j(L_{j-1}^{(n-1)}(x) - L_{j-1}^{(n)}(x))$. Наряду с этим $\tilde{P}_{ij}^n = 0$ при $i > j - n$.

Другой частный случай: $\alpha = 0, \beta < 1$, т.е. $F_0(x) = e^{-\delta x}$. Тогда функции $F_0'(x) = -\delta e^{-\delta x}$ и $F_0^{(n)}(x) = (-\delta)^n e^{-\delta x}$ отличаются от $F_0(x)$ числовым коэффициентом, поэтому ортогональны с $F_i(x), i > 0$. Таким образом, легко найти начальные условия для рекуррентных соотношений

$$(30) \text{ и } (32): \tilde{P}_{i0}^n = \begin{cases} -\delta, & i = 0, \\ 0, & i > 0, \end{cases} \quad \tilde{P}_{i0}^n = \begin{cases} (-\delta)^n, & i = 0, \\ 0, & i > 0. \end{cases}$$

Перейдем к общему случаю $\alpha \neq 0$, $\beta < 1$ для расчета начальных условий. При этих параметрах $F_0(x) = x^\mu e^{-\delta x}$, $F_0'(x) = \mu x^{\mu-1} e^{-\delta x} - \delta x^\mu e^{-\delta x}$ и в выражении $\rho^\beta(x) F_i(x) F_0'(x)$ минимальная степень переменной x будет равна $\alpha\beta + 2\mu - 1 = \alpha - 1$, следовательно, при нецелом μ условием сходимости интеграла $\int_0^{+\infty} \rho^\beta(x) F_i(x) F_0'(x) dx$ является условие $\alpha > 0$. Аналогично, при n -кратном дифференцировании условие сходимости $\alpha > n - 1$. При целых μ (для $\beta = 0$ это условие заменяется на условие четности α [13]) минимальная степень переменной x определяется иначе, она равна $\alpha\beta + \mu + \max\{\mu - n, 0\}$, поэтому условие сходимости формально записывается в виде $\max\{\alpha - n, \eta\} > -1$, однако если $\alpha > 0$, то $\eta > 0 > -1$, поэтому это условие выполнено.

Далее рассмотрим произведение $F_{i+1}(x) F_0'(x)$, необходимое для вычисления \tilde{P}_{i+10} :

$$\begin{aligned} F_{i+1}(x) F_0'(x) &= (x F_i(x) - (\alpha + 2i + 1) F_i(x) - i(\alpha + i) F_{i-1}(x)) F_0'(x) = \\ &= x F_i(x) F_0'(x) - (\alpha + 2i + 1) F_i(x) F_0'(x) - i(\alpha + i) F_{i-1}(x) F_0'(x), \end{aligned}$$

т.е.

$$\tilde{P}_{i+10} = \int_0^{+\infty} \rho^\beta(x) x F_i(x) F_0'(x) dx - (\alpha + 2i + 1) \tilde{P}_{i0} - i(\alpha + i) \tilde{P}_{i-10}.$$

Обозначим первое слагаемое в правой части последнего выражения через M_i^1 . Преобразуем произведение $x F_0'(x)$: $x F_0'(x) = x(\mu x^{\mu-1} e^{-\delta x} - \delta x^\mu e^{-\delta x}) = \mu F_0(x) - \delta x F_0(x)$, или с учетом (5)

$$x F_0'(x) = \mu F_0(x) - \delta F_1(x) - \delta(\alpha + 1) F_0(x) = -\delta(F_0(x) + F_1(x)), \quad (33)$$

поэтому

$$\begin{aligned} M_i^1 &= \int_0^{+\infty} \rho^\beta(x) F_i(x) (-\delta(F_0(x) + F_1(x))) dx = \\ &= -\delta \left(\int_0^{+\infty} \rho^\beta(x) F_i(x) F_0(x) dx + \int_0^{+\infty} \rho^\beta(x) F_i(x) F_1(x) dx \right) = -\delta(\Delta_{i0} + \Delta_{i1}) \quad (M_i^1 = 0 \text{ при } i > 1). \end{aligned} \quad (34)$$

Аналогично,

$$\tilde{P}_{i+10}^n = \int_0^{+\infty} \rho^\beta(x) x F_i(x) F_0^{(n)}(x) dx - (\alpha + 2i + 1) \tilde{P}_{i0}^n - i(\alpha + i) \tilde{P}_{i-10}^n = M_i^n - (\alpha + 2i + 1) \tilde{P}_{i0}^n - i(\alpha + i) \tilde{P}_{i-10}^n.$$

Продифференцируем $(n - 1)$ раз левую и правую части (33):

$$(n - 1) F_0^{(n-1)}(x) + x F_0^{(n)}(x) = -\delta(F_0^{(n-1)}(x) + F_1^{(n-1)}(x)), \quad \text{или} \quad x F_0^{(n)}(x) = -\delta F_1^{(n-1)}(x) + (\lambda - n) F_0^{(n-1)}(x),$$

тогда

$$\begin{aligned} M_i^n &= \int_0^{+\infty} \rho^\beta(x) F_i(x) (-\delta F_1^{(n-1)}(x) + (\lambda - n) F_0^{(n-1)}(x)) dx = -\delta \int_0^{+\infty} \rho^\beta(x) F_i(x) F_1^{(n-1)}(x) dx + \\ &+ (\lambda - n) \int_0^{+\infty} \rho^\beta(x) F_i(x) F_0^{(n-1)}(x) dx = -\delta \tilde{P}_{i1}^{n-1} + (\lambda - n) \tilde{P}_{i0}^{n-1}. \end{aligned}$$

Последнее выражение при $n = 1$ совпадает с (34), если положить $\tilde{P}_{ij}^0 = \Delta_{ij}$.

Осталось найти значение \tilde{P}_{00}^n . Для этого воспользуемся определением (31) и формулой Лейбница:

$$\begin{aligned} \tilde{P}_{00}^n &= \int_0^{+\infty} \rho^\beta(x) F_0(x) F_0^{(n)}(x) dx = \int_0^{+\infty} x^{\alpha\beta} e^{-\beta x} x^\mu e^{-\delta x} \sum_{k=0}^n C_n^k (x^\mu)^{(k)} (e^{-\delta x})^{(n-k)} dx = \\ &= \int_0^{+\infty} e^{-(\beta+2\delta)x} \sum_{k=0}^n C_n^k \mu^{[k]} x^{\alpha\beta+2\mu-k} (-\delta)^{n-k} dx = \sum_{k=0}^n C_n^k \mu^{[k]} (-\delta)^{n-k} \int_0^{+\infty} e^{-x} x^{\alpha-k} dx = \\ &= \sum_{k=0}^n C_n^k \mu^{[k]} (-\delta)^{n-k} \Gamma(\alpha - k + 1). \end{aligned} \quad (35)$$

Например, при $n = 1$: $\tilde{P}_{00} = -\delta\Gamma(\alpha + 1) + \mu\Gamma(\alpha) = (-\alpha\delta + \mu)\Gamma(\alpha) = 0$.

Заметим также, что при целых $\mu < n$ часть слагаемых в (35) равны нулю, так как $\mu^{[k]} = 0$, начиная с $k = \mu + 1$, поэтому можно переписать (35):

$$\tilde{P}_{00}^n = \sum_{k=0}^{\mu} C_n^k \mu^{[k]} (-\delta)^{n-k} \Gamma(\alpha - k + 1).$$

Начальные условия можно получить и другим способом, а именно с помощью определения (31) и формулы (6), однако это представляется более трудоемким при больших n . Рассмотрим ненормированную спектральную характеристику оператора дифференцирования первого порядка ($n = 1$):

$$\begin{aligned} \tilde{P}_{i0} &= \int_0^{+\infty} \rho^\beta(x) F_i(x) F_0'(x) dx = \int_0^{+\infty} x^{\alpha\beta} e^{-\beta x} x^\mu e^{-\delta x} \sum_{k=0}^i (-1)^{i+k} C_i^k (\alpha + i)^{[i-k]} x^k (\mu x^{\mu-1} e^{-\delta x} - \delta x^\mu e^{-\delta x}) dx = \\ &= \sum_{k=0}^i (-1)^{i+k} C_i^k (\alpha + i)^{[i-k]} \int_0^{+\infty} e^{-(\beta+2\delta)x} x^k (\mu x^{\alpha\beta+2\mu-1} - \delta x^{\alpha\beta+2\mu}) dx = \sum_{k=0}^i (-1)^{i+k} C_i^k (\alpha + i)^{[i-k]} \times \\ &\times \left(\mu \int_0^{+\infty} e^{-x} x^{\alpha+k-1} dx - \delta \int_0^{+\infty} e^{-x} x^{\alpha+k} dx \right) = \sum_{k=0}^i (-1)^{i+k} C_i^k (\alpha + i)^{[i-k]} (\mu\Gamma(\alpha + k) - \delta\Gamma(\alpha + k + 1)). \end{aligned}$$

Учитывая свойство гамма-функции

$$\Gamma(\alpha + k + 1) = (\alpha + k)\Gamma(\alpha + k),$$

а также равенство $\mu - \alpha\delta = 0$, получаем

$$\tilde{P}_{i0} = \delta \sum_{k=0}^i (-1)^{i+k+1} C_i^k (\alpha + i)^{[i-k]} k\Gamma(\alpha + k) = (-1)^{i+1} \delta (\alpha + i)^{[i]} \Gamma(\alpha + 1) \sum_{k=0}^i (-1)^k C_i^k \frac{k}{\alpha + k} = (-1)^i i! \delta \Gamma(\alpha + 1).$$

Таким образом,

$$\tilde{P}_{ij}^n = \left\{ \begin{array}{l} \Delta_{ij}, \quad n = 0, \\ j(\tilde{P}_{ij-1}^{n-1} - \tilde{P}_{ij-1}^n), \quad \beta = 1, \\ \left. \begin{array}{l} (-\delta)^n, \quad i = j = 0, \\ 0, \quad i = 0, \quad j > 0, \end{array} \right\} \alpha = 0 \\ \left. \begin{array}{l} \sum_{k=0}^n C_n^k \mu^{[k]} (-\delta)^{n-k} \Gamma(\alpha - k + 1), \quad i = j = 0, \\ -\delta \tilde{P}_{i-11}^{n-1} + (\lambda - n) \tilde{P}_{i-10}^{n-1} - (\alpha + 2i - 1) \tilde{P}_{i-10}^n - \\ \quad - (i - 1)(\alpha + i - 1) \tilde{P}_{i-20}^n, \quad i > 0, \quad j = 0, \\ -\delta \tilde{P}_{ij}^{n-1} + (\beta(j - 1) + \lambda) \tilde{P}_{ij-1}^{n-1} + \lambda(j - 1)(\alpha + j - 1) \tilde{P}_{ij-2}^{n-1} - \\ \quad - (\alpha + 2j - 1) \tilde{P}_{ij-1}^n - (j - 1)(\alpha + j - 1) \tilde{P}_{ij-2}^n, \quad j > 0. \end{array} \right\} \alpha > 0 \end{array} \right\} \beta < 1 \quad n > 0$$

Кроме приведенных выше соотношений при вычислении можно использовать общие свойства спектральных характеристик операторов дифференцирования, определенных относительно базисных систем на $[0, +\infty)$ [9], а также свойства, характерные для спектральных характеристик операторов дифференцирования, определенных относительно обобщенных функции Лагерра. Так, например, матрица P является верхней треугольной при $\alpha = 0$ или $\beta = 1$. При $\alpha > 0$ диагональные элементы P равны нулю, а в случае $\alpha > 0$ и $\beta = 0$ матрица P – кососимметрическая. Подобные свойства важны, если использовать соотношения

$$P^2 = P \cdot P., \quad \dots, \quad P^n = \underbrace{P \cdot P \cdots P}_n$$

при усечении спектральных характеристик (которое применяется, например, для приближенного решения задачи представления функций и их производных).

В качестве примера приведем спектральные характеристики операторов дифференцирования первого и второго порядков при $\alpha = 0$ и $\beta = \frac{1}{3}$:

$$P = \begin{pmatrix} -\frac{1}{3} & 1 & -1 & 1 & \dots \\ 0 & -\frac{1}{3} & 1 & -1 & \dots \\ 0 & 0 & -\frac{1}{3} & 1 & \dots \\ 0 & 0 & 0 & -\frac{1}{3} & \dots \\ \vdots & \vdots & \vdots & \vdots & \ddots \end{pmatrix}, \quad P^2 = \begin{pmatrix} \frac{1}{9} & -\frac{2}{3} & \frac{5}{3} & -\frac{8}{3} & \dots \\ 0 & \frac{1}{9} & -\frac{2}{3} & \frac{5}{3} & \dots \\ 0 & 0 & \frac{1}{9} & -\frac{2}{3} & \dots \\ 0 & 0 & 0 & \frac{1}{9} & \dots \\ \vdots & \vdots & \vdots & \vdots & \ddots \end{pmatrix}.$$

Пример 4. Рассмотрим задачу приближенного представления производной $w(x) = y'(x)$ плотности распределения Рэлея (см. пример 1) в виде частичной суммы ряда по нормированным обобщенным функциям Лагерра.

Воспользуемся результатами примера 1, в котором приведена формула расчета коэффициентов разложения y_j относительно системы нормированных обобщенных функций Лагерра. Эти коэффициенты образуют спектральную характеристику Y функции $y(x)$, представляющую собой бесконечную (или конечную в случае представления функции конечным отрезком ряда) матрицу-столбец (28).

Используя свойства спектральных характеристик оператора дифференцирования [9, 17], получаем

$$W = P \cdot Y = [w_0 \quad w_1 \quad w_2 \quad \dots]^T,$$

где W – спектральная характеристика функции $w(x) = y'(x)$, элементы которой представляют собой коэффициенты разложения этой функции относительно системы $\{f_j(x)\}_{j=0}^\infty$. Следовательно,

$$w(x) \approx w_N(x) = \sum_{j=0}^{N-1} w_j f_j(x) = \sum_{j=0}^{N-1} \left(\sum_{i=0}^{N-1} P_{ji} y_i \right) f_j(x).$$

Как и в примере 3, спектральные характеристики Y , P и W определены относительно одной и той же системы функций $\{f_j(x)\}_{j=0}^\infty$. Эти спектральные характеристики при приближенном решении задачи имеют одинаковый порядок усечения N : P – квадратная матрица размеров $N \times N$, Y и W – матрицы-столбцы размеров $N \times 1$. Для получения точного решения спектральные характеристики не усекаются, тогда Y , P и W – бесконечные матрицы.

Положим $\alpha = 0$ и найдем функцию $w_N(x)$ при различных N и β . Погрешности аппроксимации функции $w(x)$ функцией $w_N(x)$ будем вычислять по критериям (16). Результаты расчетов приведены на рис. 13–16 и в таблице 4.

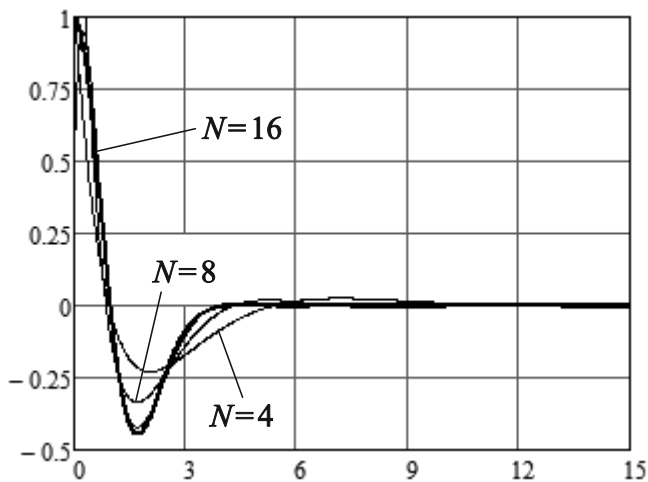


Рис. 13. Графики функций $w(x)$ и $w_N(x)$ при $\beta = 0$ и различных значениях N

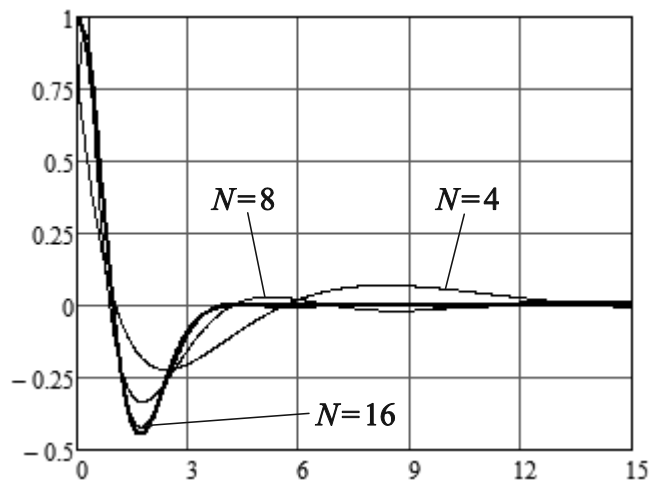


Рис. 14. Графики функций $w(x)$ и $w_N(x)$ при $\beta = \frac{1}{3}$ и различных значениях N

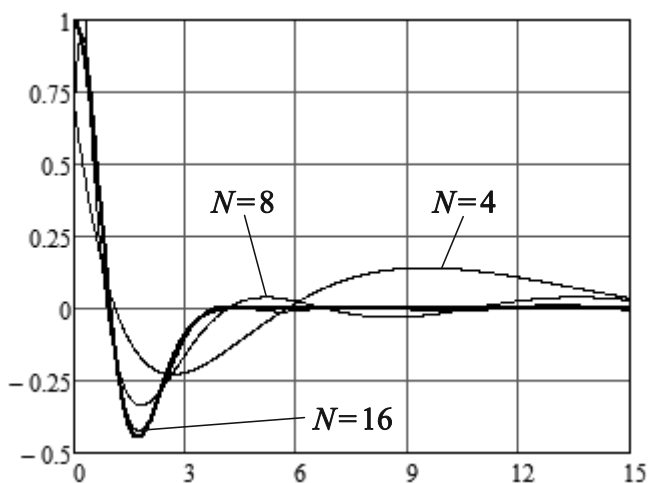


Рис. 15. Графики функций $w(x)$ и $w_N(x)$ при $\beta = \frac{1}{2}$ и различных значениях N

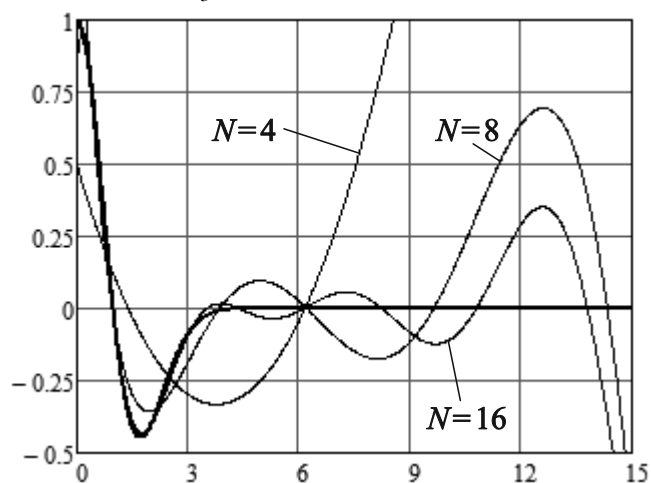


Рис. 16. Графики функций $w(x)$ и $w_N(x)$ при $\beta = 1$ и различных значениях N

Таблица 4

Погрешности аппроксимации функции $w(x)$ при различных β и N

	$\beta = 0$	$\beta = \frac{1}{3}$	$\beta = \frac{1}{2}$	$\beta = 1$
$N = 4$	0.329105/ 0.329105/ 0.560960	0.337466/ 0.432674/ 0.387938	0.346071/ 0.578936/ 0.422462	0.369171/ –/ –
$N = 8$	0.398043/ 0.398043/ 1.646493	0.327366/ 0.354423/ 1.481419	0.292336/ 0.470097/ 1.392527	0.193753/ –/ –
$N = 16$	0.116694/ 0.116694/ 0.477768	0.086949/ 0.411541/ 0.367585	0.072249/ 409.848143/ 85.813070	0.033236/ –/ –

Спектральные характеристики операторов интегрирования

Перейдем к оператору интегрирования, ставящему в соответствие функции $f(x)$ ее первообразную $\int_0^x f(\xi)d\xi$. Спектральной характеристикой оператора интегрирования (двумерной нестационарной передаточной функцией интегрирующего звена) называется бесконечная двумерная матрица P^{-1} , элементы которой вычисляются следующим образом [9, 17]:

$$P_{ij}^{-1} = \int_0^{+\infty} \rho^\beta(x) f_i(x) \left(\int_0^x f_j(\xi) d\xi \right) dx = \frac{\tilde{P}_{ij}^{-1}}{\sqrt{h_i h_j}}, \quad i, j = 0, 1, 2, \dots,$$

где

$$\tilde{P}_{ij}^{-1} = \int_0^{+\infty} \rho^\beta(x) F_i(x) \left(\int_0^x F_j(\xi) d\xi \right) dx. \tag{36}$$

С учетом (36) и соотношений (9) и (22) при $a(x) = x$ (см. также (27)) можно записать рекуррентную формулу

$$\tilde{P}_{ij+1}^{-1} = \frac{1}{\delta} \left((\beta j + \lambda) \tilde{P}_{ij}^{-1} + \lambda j(\alpha + j) \tilde{P}_{ij-1}^{-1} - \hat{A}_{ij}^1 \right), \tag{37}$$

или при $\delta = 0$ ($\beta = 1$, полиномы Лагерра), принимая во внимание (10), имеем

$$\tilde{P}_{ij}^{-1} = \frac{1}{j+1} \left(\hat{A}_{ij}^1 - j(\alpha + j) \tilde{P}_{ij-1}^{-1} \right). \tag{38}$$

Рассмотрим общий случай n -кратного интегрирования. Соотношения для расчета элементов спектральной характеристики P^{-n} оператора интегрирования порядка n имеют вид

$$P_{ij}^{-n} = \frac{\tilde{P}_{ij}^{-n}}{\sqrt{h_i h_j}}, \quad i, j = 0, 1, 2, \dots,$$

где

$$\tilde{P}_{ij}^{-n} = \int_0^{+\infty} \rho^\beta(x) F_i(x) \left(\int_0^x \int_0^{\xi_1} \dots \int_0^{\xi_{n-1}} F_j(\xi_n) d\xi_n \dots d\xi_2 d\xi_1 \right) dx. \tag{39}$$

Здесь целесообразно воспользоваться соотношением (11), тогда

$$\tilde{P}_{ij+1}^{-n} = \frac{1}{\delta} \left((\beta j + \lambda) \tilde{P}_{ij}^{-n} + \lambda j(\alpha + j) \tilde{P}_{ij-1}^{-n} - \tilde{P}_{ij+1}^{-n+1} - (\alpha + 2j + 1) \tilde{P}_{ij}^{-n+1} - j(\alpha + j) \tilde{P}_{ij-1}^{-n+1} \right),$$

или при $\delta = 0$ ($\beta = 1$, полиномы Лагерра) – соотношением (12) (см. также [13]):

$$\tilde{P}_{ij}^{-n} = \frac{1}{j+1} \left(\tilde{P}_{ij+1}^{-n+1} + (\alpha + 2j + 1) \tilde{P}_{ij}^{-n+1} + j(\alpha + j) \tilde{P}_{ij-1}^{-n+1} - j(\alpha + j) \tilde{P}_{ij-1}^{-n} \right).$$

Заметим, что последние два выражения при $n = 1$ принимают соответственно вид

$$\tilde{P}_{ij+1}^{-1} = \frac{1}{\delta} \left((\beta j + \lambda) \tilde{P}_{ij}^{-1} + \lambda j(\alpha + j) \tilde{P}_{ij-1}^{-1} - \Delta_{ij+1} - (\alpha + 2j + 1) \Delta_{ij} - j(\alpha + j) \Delta_{ij-1} \right)$$

и

$$\tilde{P}_{ij}^{-1} = \frac{1}{j+1} \left(\Delta_{ij+1} + (\alpha + 2j + 1) \Delta_{ij} + j(\alpha + j) \Delta_{ij-1} - j(\alpha + j) \tilde{P}_{ij-1}^{-1} \right).$$

Они совпадают с (37) и (38), так как $\hat{A}_{ij}^1 = \Delta_{ij+1} + (\alpha + 2j + 1) \Delta_{ij} + j(\alpha + j) \Delta_{ij-1}$ (см. (27)).

Таким образом,

$$\tilde{P}_{ij}^{-n} = \begin{cases} \Delta_{ij}, & n=0, \\ \frac{1}{\delta} \left((\beta(j-1) + \lambda) \tilde{P}_{ij-1}^{-n} + \lambda(j-1)(\alpha + j-1) \tilde{P}_{ij-2}^{-n} - \tilde{P}_{ij}^{-n+1} - \right. \\ \quad \left. - (\alpha + 2j-1) \tilde{P}_{ij-1}^{-n+1} - (j-1)(\alpha + j-1) \tilde{P}_{ij-2}^{-n+1} \right), & j > 0, \beta < 1, \\ \frac{1}{j+1} \left(\tilde{P}_{ij+1}^{-n+1} + (\alpha + 2j+1) \tilde{P}_{ij}^{-n+1} + j(\alpha + j) \tilde{P}_{ij-1}^{-n+1} - j(\alpha + j) \tilde{P}_{ij-1}^{-n} \right), & \beta = 1. \end{cases} \quad n > 0$$

Начальные условия \tilde{P}_{i0}^{-1} и \tilde{P}_{i0}^{-n} вычисляются по определениям (36) и (39) соответственно.

В качестве примера рассмотрим ненормированную спектральную характеристику оператора интегрирования первого порядка ($n = 1$):

$$\tilde{P}_{i0}^{-1} = \int_0^{+\infty} \rho^\beta(x) F_i(x) \left(\int_0^x F_0(\xi) d\xi \right) dx = \int_0^{+\infty} x^{\alpha\beta} e^{-\beta x} x^\mu e^{-\delta x} \sum_{k=0}^i (-1)^{i+k} C_i^k (\alpha + i)^{[i-k]} x^k \left(\int_0^x \xi^\mu e^{-\delta \xi} d\xi \right) dx.$$

Преобразуем интеграл $\int_0^x \xi^\mu e^{-\delta \xi} d\xi$ с помощью замены переменных: $t = \delta \xi$, тогда

$$\int_0^x \xi^\mu e^{-\delta \xi} d\xi = \frac{1}{\delta^{\mu+1}} \int_0^{\delta x} t^\mu e^{-t} dt = \frac{1}{\delta^{\mu+1}} \gamma(\mu+1, \delta x),$$

где $\gamma(\alpha, x)$ – неполная гамма-функция: $\gamma(\alpha, x) = \int_0^x t^{\alpha-1} e^{-t} dt$, т.е.

$$\begin{aligned} \tilde{P}_{i0}^{-1} &= \frac{1}{\delta^{\mu+1}} \int_0^{+\infty} x^{\alpha\beta+\mu} e^{-(\beta+\delta)x} \sum_{k=0}^i (-1)^{i+k} C_i^k (\alpha + i)^{[i-k]} x^k \gamma(\mu+1, \delta x) dx = \frac{1}{\delta^{\mu+1}} \sum_{k=0}^i (-1)^{i+k} C_i^k (\alpha + i)^{[i-k]} \times \\ &\times \int_0^{+\infty} x^{\eta+k} e^{-\lambda x} \gamma(\mu+1, \delta x) dx = \frac{1}{\mu+1} \sum_{k=0}^i (-1)^{i+k} C_i^k (\alpha + i)^{[i-k]} \Gamma(\alpha + k + 2) {}_2F_1(1, \alpha + k + 2, \mu + 2, \delta) = \\ &= \frac{(\alpha + i)^{[i]} \Gamma(\alpha + 1)}{\mu + 1} \sum_{k=0}^i (-1)^{i+k} C_i^k (\alpha + k + 1) {}_2F_1(1, \alpha + k + 2, \mu + 2, \delta), \end{aligned}$$

где ${}_2F_1(\alpha, \beta, \gamma, z)$ – гипергеометрическая функция [1, 10]. Эти формулы используются при $\delta \neq 0$ (т.е. при $\beta < 1$), в противном случае вычислять начальные условия нет необходимости.

При $\beta < 1$ в ряде частных случаев начальные условия можно найти проще (в том числе и

при $n > 1$), а именно если $\alpha = 0$, то $F_0(x) = e^{-\delta x}$ и $\int_0^x F_0(\xi) d\xi = \int_0^x e^{-\delta \xi} d\xi = \frac{1}{\delta} - \frac{e^{-\delta x}}{\delta}$, поэтому

$$\tilde{P}_{i0}^{-1} = \int_0^{+\infty} \rho^\beta(x) F_i(x) \left(\frac{1}{\delta} - \frac{e^{-\delta x}}{\delta} \right) dx = \frac{1}{\delta} \int_0^{+\infty} \rho^\beta(x) F_i(x) dx - \frac{1}{\delta} \int_0^{+\infty} \rho^\beta(x) F_i(x) F_0(x) dx.$$

Первое слагаемое в правой части последнего соотношения вычисляется с использованием формулы (21) при $\alpha = \eta = 0$:

$$\int_0^{+\infty} \rho^\beta(x) F_i(x) dx = i! \sum_{k=0}^i \frac{(-1)^{i+k} C_i^k}{\lambda^{k+1}} = \frac{i!}{\lambda} \left(\frac{1}{\lambda} - 1 \right)^i,$$

следовательно,

$$\tilde{P}_{i0}^{-1} = \int_0^{+\infty} \rho^\beta(x) F_i(x) \left(\frac{1}{\delta} - \frac{e^{-\delta x}}{\delta} \right) dx = \frac{1}{\delta} \left(\frac{i!}{\lambda} \left(\frac{1}{\lambda} - 1 \right)^i - \Delta_{i0} \right).$$

При $n > 1$ имеем

$$\int_0^x \int_0^{\xi_1} \dots \int_0^{\xi_{n-1}} F_0(\xi_n) d\xi_n \dots d\xi_2 d\xi_1 = \int_0^x \int_0^{\xi_1} \dots \int_0^{\xi_{n-1}} e^{-\delta \xi_n} d\xi_n \dots d\xi_2 d\xi_1 = \frac{(-1)^n e^{-\delta x}}{\delta^n} - \sum_{k=0}^{n-1} \frac{(-1)^{n-k} x^k}{\delta^{n-k} k!},$$

а далее, принимая во внимание результаты примера 2 (см. (19)–(21)), получаем

$$\tilde{P}_{i0}^{-n} = \frac{(-1)^n}{\delta^n} \Delta_{i0} - \sum_{k=0}^{n-1} \frac{(-1)^{n-k}}{\delta^{n-k} k!} \tilde{z}_i^k.$$

Если $\alpha \neq 0$, но μ является целым, то целесообразно воспользоваться следующим соотношением [1]: $\int_0^x \xi^\mu e^{-\delta \xi} d\xi = \frac{\mu!}{\delta^{\mu+1}} - \frac{e^{-\delta x}}{\delta} \sum_{l=0}^{\mu} \frac{\mu^{[l]}}{\delta^l} x^{\mu-l}$. Тогда, например, при $n=1$ получаем

$$\begin{aligned} \tilde{P}_{i0}^{-1} &= \int_0^{+\infty} \rho^\beta(x) F_i(x) \left(\int_0^x F_0(\xi) d\xi \right) dx = \\ &= \int_0^{+\infty} x^{\alpha\beta} e^{-\beta x} x^\mu e^{-\delta x} \sum_{k=0}^i (-1)^{i+k} C_i^k (\alpha+i)^{[i-k]} x^k \left(\frac{\mu!}{\delta^{\mu+1}} - \frac{e^{-\delta x}}{\delta} \sum_{l=0}^{\mu} \frac{\mu^{[l]}}{\delta^l} x^{\mu-l} \right) dx = \\ &= \frac{1}{\delta} \sum_{k=0}^i (-1)^{i+k} C_i^k (\alpha+i)^{[i-k]} \left(\frac{\mu!}{\delta^\mu} \int_0^{+\infty} x^{\alpha\beta+\mu+k} e^{-(\beta+\delta)x} dx - \sum_{l=0}^{\mu} \frac{\mu^{[l]}}{\delta^l} \int_0^{+\infty} x^{\alpha+k-l} e^{-x} dx \right) = \\ &= \frac{1}{\delta} \sum_{k=0}^i (-1)^{i+k} C_i^k (\alpha+i)^{[i-k]} \left(\frac{\mu!}{\delta^\mu} \frac{\Gamma(\eta+k+1)}{\lambda^{\eta+k+1}} - \sum_{l=0}^{\mu} \frac{\mu^{[l]}}{\delta^l} \Gamma(\alpha+k-l+1) \right). \end{aligned}$$

Помимо приведенных соотношений можно дополнительно использовать свойства спектральных характеристик операторов интегрирования, определенных относительно нормированных обобщенных функций Лагерра. Так, матрица P^{-1} является нижней треугольной при $\alpha=0$. Например, при $\beta = \frac{1}{3}$ получаем

$$P^{-1} = \begin{pmatrix} \frac{3}{2} & 0 & 0 & 0 & \dots \\ \frac{9}{4} & \frac{3}{2} & 0 & 0 & \dots \\ \frac{9}{8} & \frac{9}{4} & \frac{3}{2} & 0 & \dots \\ \frac{9}{16} & \frac{9}{8} & \frac{9}{4} & \frac{3}{2} & \dots \\ \vdots & \vdots & \vdots & \vdots & \ddots \end{pmatrix}.$$

При $\alpha=0$ и $\beta=1$ P^{-1} представляет собой bidiagonalную матрицу [13]:

$$P^{-1} = \begin{pmatrix} 1 & 0 & 0 & 0 & \dots \\ 1 & 1 & 0 & 0 & \dots \\ 0 & 1 & 1 & 0 & \dots \\ 0 & 0 & 1 & 1 & \dots \\ \vdots & \vdots & \vdots & \vdots & \ddots \end{pmatrix};$$

при $\alpha \neq 0$ и $\beta=1$ ненулевыми элементами матрицы P^{-1} являются P_{ij}^{-1} при $i=j$, $i=j+1$ и $i=0$.

Пример 5. Рассмотрим задачу приближенного представления функции распределения Рэлея $\Phi(x) = \int_0^x y(\xi) d\xi$, где $y(\xi)$ – соответствующая плотность вероятности (см. пример 1), в виде частичной суммы ряда по нормированным обобщенным функциям Лагерра.

Для решения этой задачи будем использовать свойства спектрального преобразования операторов интегрирования [9, 17] и результаты, полученные в примере 1.

Поскольку рассматривается задача приближенного представления функции, то Y – матрица-столбец с конечным числом элементов (напомним, что для точного представления необходимо вычислять всю совокупность коэффициентов разложения y_j , тогда Y будет представлять собой матрицу-столбец (28) с бесконечным числом элементов).

Спектральная характеристика функции $\Phi(x)$ определяется выражением

$$\Phi = P^{-1} \cdot Y = [\varphi_0 \quad \varphi_1 \quad \varphi_2 \quad \dots]^T,$$

где φ_j – коэффициенты разложения этой функции относительно системы нормированных обобщенных функций Лагерра, т.е.

$$\Phi(x) \approx \Phi_N(x) = \sum_{j=0}^{N-1} \varphi_j f_j(x) = \sum_{j=0}^{N-1} \left(\sum_{i=0}^{N-1} P_{ji}^{-1} y_i \right) f_j(x).$$

Здесь, как и в двух предыдущих примерах, предполагается, что спектральные характеристики Φ , P^{-1} и Y определены относительно одной и той же системы функций $\{f_j(x)\}_{j=0}^{\infty}$ и имеют одинаковые порядки усечения.

Положим $\alpha = 0$ и найдем функцию $\Phi_N(x)$ при различных N и β . Погрешность аппроксимации функции $\Phi(x)$ функцией $\Phi_N(x)$ будем вычислять только по критерию J_1 (см. (16)), так как функция распределения не является элементом пространства $L_2([0, +\infty))$ и, следовательно, вычислять значения критерия J_2 не имеет смысла. Кроме того, нетрудно показать, что $|\Phi(x) - \Phi_N(x)| \rightarrow 1$ при $x \rightarrow +\infty$ и $\beta < 1$, $|\Phi(x) - \Phi_N(x)|$ неограниченно возрастает при $x \rightarrow +\infty$ и $\beta = 1$, поэтому значения критерия J_3 также не вычисляются. Результаты расчетов приведены на рис. 17–20 и в таблице 5.

Применение обобщенных функций Лагерра

для анализа линейных детерминированных систем управления

Напомним постановку задачи анализа выходных процессов линейных детерминированных систем [5]. Пусть модель системы управления описывается дифференциальным уравнением

$$a_n(x)u^{(n)}(x) + \dots + a_1(x)u'(x) + a_0(x)u(x) = g(x), \quad (40)$$

в котором $g(x)$ – входной сигнал, $u(x)$ – выходной сигнал, $a_n(x)$, ..., $a_1(x)$, $a_0(x)$ – заданные функции, x – независимая переменная (время).

Задача анализа состоит в нахождении выходного сигнала $u(x)$ по уравнению системы, заданным входному сигналу $g(x)$ и начальным условиям

$$u(0) = \hat{u}_0, \quad u'(0) = \hat{u}'_0, \quad \dots, \quad u^{(n-1)}(0) = \hat{u}_0^{(n-1)}.$$

При нулевых начальных условиях ($\hat{u}_0 = \hat{u}'_0 = \dots = \hat{u}_0^{(n-1)} = 0$) спектральная характеристика U выходного сигнала $u(x)$ определяется выражением [5, 15–17]

$$U = W \cdot G = [u_0 \quad u_1 \quad u_2 \quad \dots]^T, \quad (41)$$

в котором G – спектральная характеристика входного сигнала $g(x)$, а W – двумерная нестационарная передаточная функция:

$$W = P^{-n}(A_n + \dots + A_1 P^{-n+1} + A_0 P^{-n})^{-1},$$

где $P^{-1}, \dots, P^{-n+1}, P^{-n}$ – спектральные характеристики операторов интегрирования, а A_n, \dots, A_1, A_0 – спектральные характеристики операторов умножения на функции $a_n(x), \dots, a_1(x), a_0(x)$ соответственно (все перечисленные спектральные характеристики определены относительно одной и той же базисной системы).

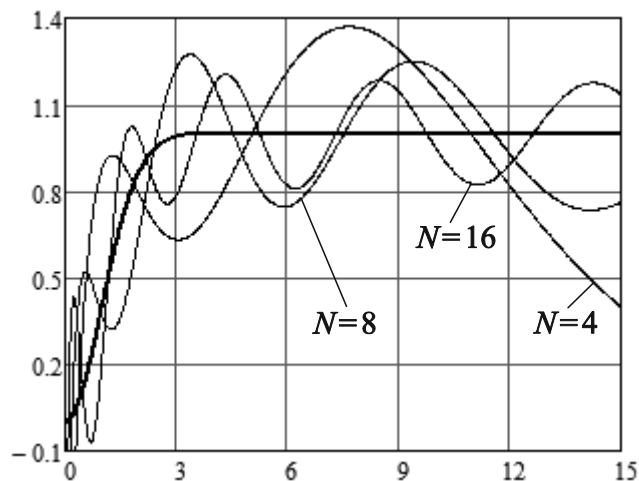


Рис. 17. Графики функций $\Phi(x)$ и $\Phi_N(x)$ при $\beta = 0$ и различных значениях N

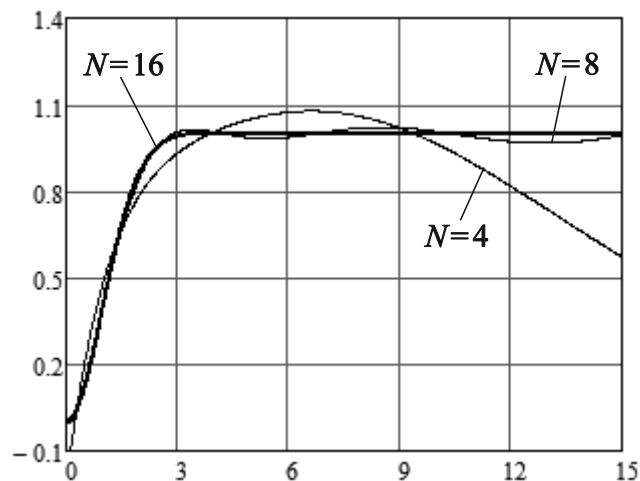


Рис. 18. Графики функций $\Phi(x)$ и $\Phi_N(x)$ при $\beta = \frac{1}{3}$ и различных значениях N

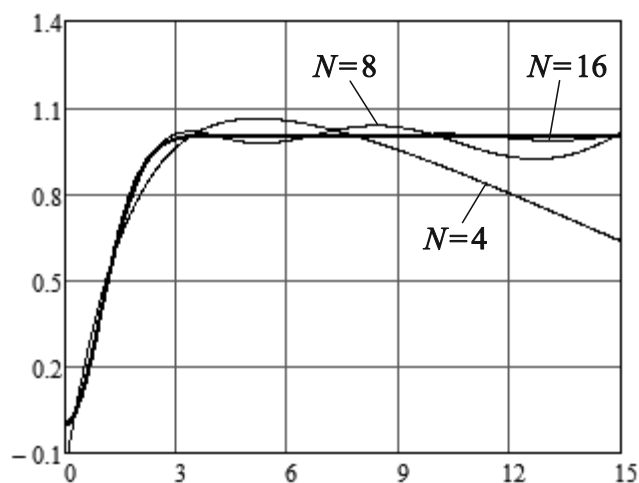


Рис. 19. Графики функций $\Phi(x)$ и $\Phi_N(x)$ при $\beta = \frac{1}{2}$ и различных значениях N

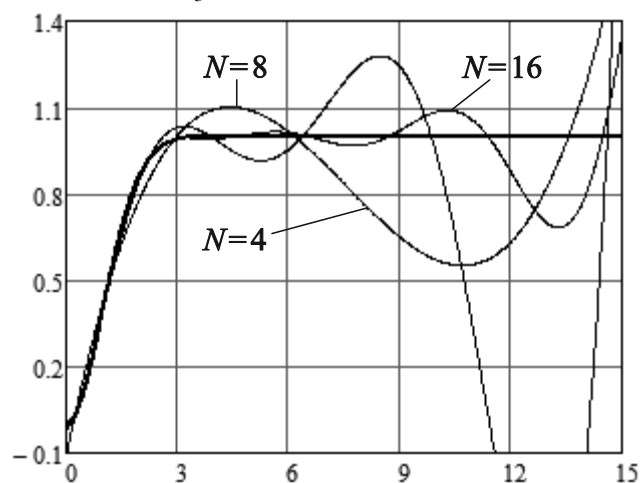


Рис. 20. Графики функций $\Phi(x)$ и $\Phi_N(x)$ при $\beta = 1$ и различных значениях N

Таблица 5

Погрешности аппроксимации функции $\Phi(x)$ при различных β и N

	$\beta = 0$	$\beta = \frac{1}{3}$	$\beta = \frac{1}{2}$	$\beta = 1$
$N = 4$	–	0.164650	0.090693	0.054763
$N = 8$	–	0.026696	0.020517	0.020737
$N = 16$	–	0.003029	0.003038	0.002892

В общем случае при ненулевых начальных условиях и правой части уравнения (40) вида $b_m(x)g^{(m)}(x) + \dots + b_1(x)g'(x) + b_0(x)g(x)$, где $b_m(x), \dots, b_1(x), b_0(x)$ – заданные функции, алгоритм решения задачи анализа незначительно модифицируется [5, 15, 16]. Возможна и другая форма записи для характеристики W , выражающая ее через спектральные характеристики операторов дифференцирования $P', P^\lambda, \dots, P^\wedge$.

Выходной сигнал определяется коэффициентами разложения u_j (при усечении спектральных характеристик выходной сигнал определяется приближенно).

Пример 6. Рассмотрим задачу анализа линейной стационарной детерминированной системы, которая описывается дифференциальным уравнением второго порядка (колебательным звеном [5])

$$T^2 u''(x) + 2\xi T u'(x) + u(x) = g(x) \quad (42)$$

при нулевых начальных условиях и входном сигнале $g(x) = 1$ (здесь $T > 0$ и $|\xi| < 1$ – числовые параметры).

Запишем выражение для спектральной характеристики входного сигнала:

$$G = [g_0 \quad g_1 \quad g_2 \quad \dots]^T,$$

где $g_j = z_j^0$ (см. пример 2).

Двумерная нестационарная передаточная функция линейной системы (42) имеет вид

$$W = P^{-2}(A_2 + A_1 P^{-1} + A_0 P^{-2})^{-1},$$

где P^{-1} и P^{-2} – спектральные характеристики операторов интегрирования, а A_2, A_1 и A_0 – спектральные характеристики операторов умножения на функции $a_2(x) = T^2$, $a_1(x) = 2\xi T$ и $a_0(x) = 1$ соответственно. Согласно свойствам спектральных характеристик операторов умножения $A_2 = T^2 E$, $A_1 = 2\xi T E$ и $A_0 = E$, где E – бесконечная единичная матрица [6, 9].

Спектральная характеристика U выходного сигнала $u(x)$ определяется формулой (41), а приближенное решение задачи анализа – соотношением

$$u(x) \approx u_N(x) = \sum_{j=0}^{N-1} u_j f_j(x) = \sum_{j=0}^{N-1} \left(\sum_{i=0}^{N-1} W_{ji} g_i \right) f_j(x).$$

Пусть, как и в предыдущих примерах, $\alpha = 0$. Зададим параметры системы управления: $T = \frac{3}{4}$, $\xi = \frac{1}{4}$, и найдем функцию $u_N(x)$ при различных значениях N и β . Для вычисления погрешности аппроксимации точного решения

$$u(x) = 1 - e^{-\frac{\xi}{T}x} \cos \frac{\sqrt{1-\xi^2}}{T} x - \frac{\xi}{\sqrt{1-\xi^2}} e^{-\frac{\xi}{T}x} \sin \frac{\sqrt{1-\xi^2}}{T} x$$

функцией $u_N(x)$ снова воспользуемся критерием J_1 для $\beta > 0$ (см. (16) и пример 5). Результаты расчетов приведены на рис. 21–24 и в таблице 6.

Заключение

Основным итогом являются полученные алгоритмы расчета спектральных характеристик операторов умножения, дифференцирования и интегрирования (двумерных нестационарных передаточных функций элементарных звеньев систем управления: усилительного, дифференцирующего и интегрирующего) в базисе обобщенных функций Лагерра, необходимые при

решении задач анализа и синтеза линейных и нелинейных систем управления в спектральной форме математического описания. Разработанные алгоритмы расчета спектральных характеристик апробированы на примерах представления функций, их производных и первообразных, примере анализа линейной детерминированной системы управления второго порядка.

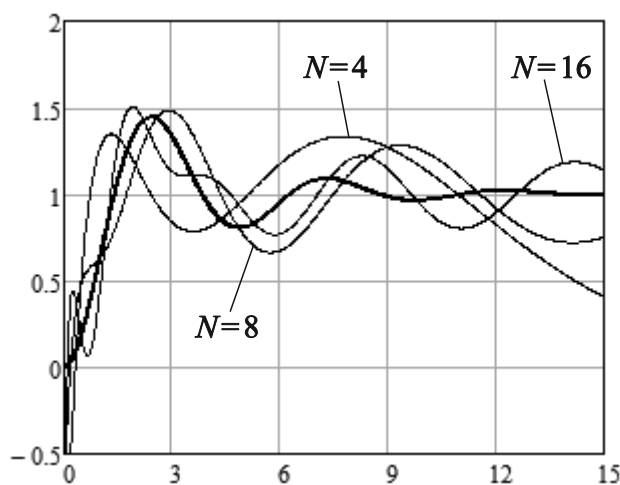


Рис. 21. Графики функций $u(x)$ и $u_N(x)$ при $\beta = 0$ и различных значениях N

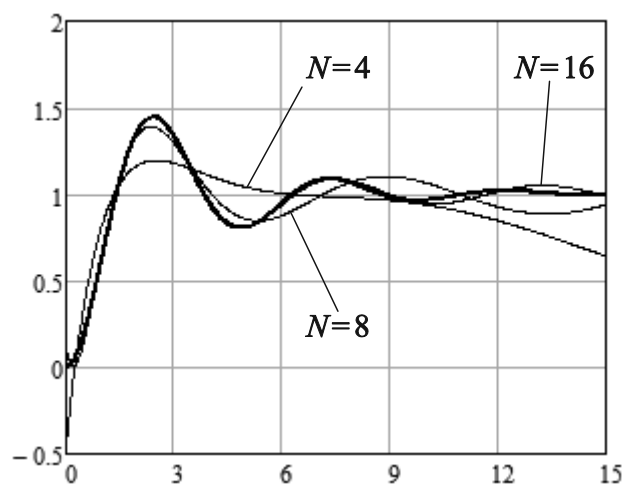


Рис. 22. Графики функций $u(x)$ и $u_N(x)$ при $\beta = \frac{1}{3}$ и различных значениях N

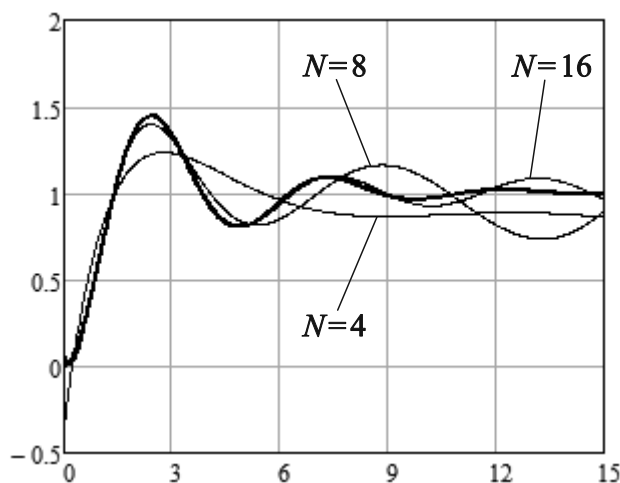


Рис. 23. Графики функций $u(x)$ и $u_N(x)$ при $\beta = \frac{1}{2}$ и различных значениях N

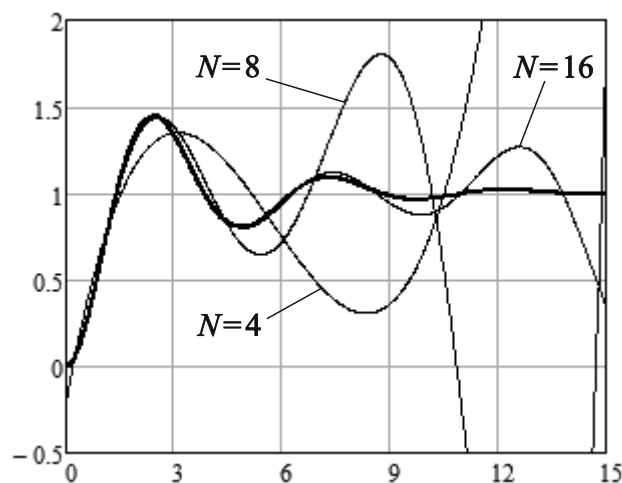


Рис. 24. Графики функций $u(x)$ и $u_N(x)$ при $\beta = 1$ и различных значениях N

Таблица 6

Погрешности аппроксимации функции $u(x)$ при различных β и N

	$\beta = 0$	$\beta = \frac{1}{3}$	$\beta = \frac{1}{2}$	$\beta = 1$
$N = 4$	–	0.311172	0.224303	0.117286
$N = 8$	–	0.092800	0.062648	0.035703
$N = 16$	–	0.014978	0.009770	0.002687

Полученные результаты могут послужить основой для расчета спектральных характеристик относительно ортонормированных функций, построенных на базе обобщенных функций Лагерра:

$$F_j^{\alpha, \beta, m, D}(x) = F_j^{\alpha, \beta} \left(\frac{x-m}{D} \right), \quad j = 0, 1, 2, \dots, \text{ с дополнительными параметрами } m \text{ и } D > 0.$$

Они ортогональны на множестве $[m, +\infty)$ с весовой функцией $\rho^\beta \left(\frac{x-m}{D} \right)$. Введение дополнительных параметров позволяет, во-первых, решать задачу представления функций на множествах вида $[m, +\infty)$, во-вторых, в ряде случаев ограничиваться меньшим числом первых членов в разложении функции при незначительном изменении погрешности аппроксимации (при соответствующем подборе параметра D). При $D < 0$ указанные функции ортогональны на множестве $(-\infty, m]$.

Список литературы

1. Градштейн И.С., Рыжик И.М. Таблицы интегралов, сумм, рядов и произведений. – М.: Физматгиз, 1963. – 1100 с.
2. Джексон Д. Ряды Фурье и ортогональные полиномы. – М.: ГИИЛ, 1948. – 260 с.
3. Колмогоров А.Н., Фомин С.В. Элементы теории функций и функционального анализа. – М.: Наука, 1976. – 544 с.
4. Кук Р. Бесконечные матрицы и пространства последовательностей. – М.: Физматгиз, 1960. – 471 с.
5. Пантелеев А.В., Бортаковский А.С. Теория управления в примерах и задачах. – М.: Высшая школа, 2003. – 583 с.
6. Пантелеев А.В., Рыбаков К.А. Прикладной вероятностный анализ нелинейных систем управления спектральным методом. – М.: Изд-во МАИ-ПРИНТ, 2010. – 160 с.
7. Пантелеев А.В., Рыбаков К.А. Анализ нелинейных стохастических систем управления в классе обобщенных характеристических функций // Автоматика и телемеханика. – 2011, № 2. – С. 183–194.
8. Пантелеев А.В., Рыбаков К.А. Синтез оптимальных нелинейных стохастических систем управления спектральным методом // Информатика и ее применения. – 2011, т. 5, вып. 2. – С. 69–81.
9. Пантелеев А.В., Рыбаков К.А., Сотскова И.Л. Спектральный метод анализа нелинейных стохастических систем управления. – М.: Вузовская книга, 2006. – 392 с.
10. Прудников А.П., Брычков Ю.А., Маричев О.И. Интегралы и ряды. Т. 1. Элементарные функции. – М.: ФИЗМАТЛИТ, 2002. – 632 с.; Т. 2. Специальные функции. – М.: ФИЗМАТЛИТ, 2003. – 664 с.
11. Романов В.А., Рыбаков К.А. Спектральные характеристики операторов умножения, дифференцирования и интегрирования в базисе обобщенных функций Эрмита // Электронный журнал «Труды МАИ». – 2010, № 39. – <http://www.mai.ru>.
12. Рыбаков К.А. Спектральные характеристики линейных функционалов и их приложения к анализу и синтезу стохастических систем управления // Электронный журнал «Труды МАИ». – 2005, № 18. – <http://www.mai.ru>.
13. Рыбаков К.А., Сотскова И.Л. Алгоритмическое обеспечение спектрального метода анализа систем управления в неограниченных областях изменения времени и фазовых координат // Электронный журнал «Труды МАИ». – 2004, № 16. – <http://www.mai.ru>.
14. Рыбаков К.А., Хакимов З.Р. О применении спектральной формы математического описания к идентификации систем управления космическими аппаратами // Вестник Московского авиационного института. – 2010, т. 17, № 3. – С. 226–229.

15. Рыбин В.В. Моделирование нестационарных непрерывно-дискретных систем управления спектральным методом в системах компьютерной математики. – М.: Изд-во МАИ, 2011. – 220 с.
16. Семенов В.В., Рыбин В.В. Алгоритмическое и программное обеспечение расчета нестационарных непрерывно-дискретных систем управления ЛА спектральным методом. – М.: МАИ, 1984. – 84 с.
17. Солодовников В.В., Семенов В.В. Спектральная теория нестационарных систем управления. – М.: Наука, 1974. – 336 с.
18. Суетин П.К. Классические ортогональные многочлены. – М.: Наука, 1979. – 416 с.